

СБ 20461<sup>(2)</sup> Р-59-ХХII

МИНИСТЕРСТВО ГЕОЛОГИИ СССР  
НАУЧНО-ИССЛЕДОВАТЕЛЬСКИЙ ИНСТИТУТ ГЕОЛОГИИ АРКТИКИ

# ГЕОЛОГИЧЕСКАЯ КАРТА СССР

масштаба 1:200 000

*Серия Корякская*

Лист Р-59-ХХII

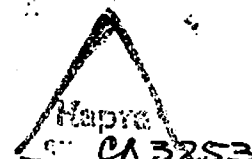
Объяснительная записка

Составил А. В. Дитмар  
Редактор А. Б. Коровкин

Утверждено Научно-редакционным советом ВСЕГЕИ  
9 декабря 1965 г., протокол № 52.



ИЗДАТЕЛЬСТВО «НЕДРА»  
МОСКВА, 1972



## СОДЕРЖАНИЕ

	Стр.
Введение . . . . .	3
Стратиграфия . . . . .	7
Интузивные образования . . . . .	26
Тектоника . . . . .	35
Геоморфология . . . . .	41
Полезные ископаемые . . . . .	44
Подземные воды . . . . .	51
Литература . . . . .	52
Приложения . . . . .	54

Редактор издательства *Л. Г. Рожкова* Техн. редактор *В. В. Романова*  
 Подписано в печать 23/XII—72 Формат 60×90 $\frac{1}{16}$ . Печ. л. 3,75  
 Уч.-изд. л. 6,38 Тираж 100 экз. Заказ № 05387

Издательство «Недра»  
 Ленкартфабрика ВАГТ

## ВВЕДЕНИЕ

Территория, ограниченная рамками листа Р-59-ХХII, расположена между 61°20'—62°00' с. ш. и 171°00'—172°00' в. д. Общая площадь ее составляет 3947 км<sup>2</sup>. По административному делению она относится к Корякскому национальному округу Камчатской области РСФСР.

Район охватывает центральную часть Корякского нагорья в пределах развития центральной части хр. Укэлайт, западных отрогов хребтов Снегового и Ватыны, а также северо-восточной части депрессии долины р. Ачайваем. Район занимает наиболее высокогорную часть Корякского нагорья, в пределах хр. Укэлайт расположена гора Ледяная с максимальной для нагорья абсолютной отметкой 2562 м. Горные сооружения состоят из вытянутых в широтном и юго-восточном направлении гряд. На большей части территории рельеф альпинотипный. Хребты, высотой 1500—2200 м, характеризуются сильно расчлененными крутыми склонами, остроконечными вершинами, зазубренными гребнями и являются труднодоступными. Слоны северной экспозиции крутые (60—70°), южные более пологие (30—40°). Вблизи водоразделов развиты кары, выше отметки 1000—1400 м заполненные ледниками. Относительные превышения в гористой местности на юге района достигают 800—1000 м, на севере — до 1800 м. Правобережье р. Ачайваем представляет собой глубоко расчлененный крутосклонный платообразный массив высотой 1300—1700 м.

В депрессии долины р. Ачайваем и ее левых притоков развит западинно-буగристый рельеф с абсолютными отметками до 400 м и относительными превышениями 50—100 м. Вдоль подножия юго-западного склона хр. Ватына развит низкогорный рельеф с широкими слаженными вершинами, абсолютными отметками 600—800 м и относительными превышениями 200—300 м.

Главные реки района: на востоке — Укэлайт, Ильпи, Ватына, на западе — Ачайваем. Первые три впадают в Берингово море. Река Ачайваем, слившись за пределами района с р. Апукваем, образует р. Апку, впадающую в Олюторский залив Берингова моря. Реки Укэлайт и Ачайваем берут свое начало со склонов хр. Укэлайт, реки Ильпи и Ватына — со склонов хр. Снегового. Река Ачайваем пересекает почти всю западную часть района в меридиональном направлении, реки Укэлайт и Ильпи текут в субширотном направлении, р. Ватына в верховьях течет на юго-запад, а от перевала Незадимного резко поворачивает на юго-восток. Долины рек Ачайваем и Укэлайт хорошо разработаны, ширина их достигает 3—8 км. Лишь местами русла врезаны в коренные породы, образуя уступы с отвесными стенками высотой до 25 м. Ширина русла реки 25—40 м, глубина 0,7—1,5 м. В половодье уровень воды поднимается на 1—2 м против меженного, в период которого скорость течения равна 2 м/сек и реки проходимы вброд лишь на перекатах. Реки Ильпи и Ватына (в среднем течении) текут в узких глубоких (до 70 м) каньонах, обладая быстрым течением — до 3 м/сек и глубиной до 1,5 м. Притоки главных водотоков являются типичными горными реками с крутым продольным и V-образным поперечным профилями и узким спрямленным каменистым руслом. В нижнем течении они образуют труднопроходимые каньоны, врезаясь нередко в днище трога. Глубина рек менее 1 м. У мелких притоков наблюдаются значительные конуса выноса.

Большинство озер приурочено к широким долинам. Они преимущественно ледникового происхождения, глубина и размеры их незначительны. Наиболее крупные — оз. Эпильчик имеет длину 4 км, ширину 0,1—0,8 км и глубину около 7 м и оз. Гытгын — длину 0,9 км, ширину 0,15—0,3 км, глубину более 6 м.

Климат суровый субарктический с продолжительной (более 7 месяцев) зимой и коротким прохладным летом. Наибольшее количество осадков выпадает в теплый период года. Скорость ветра весьма значительна. Летом преобладают юго-восточные ветры, несущие затяжные дожди. Зимний снежный покров устойчив. В глубоких ущельях и на северных склонах гор снег сохраняется круглый год. Минимальные температуры наблюдаются в январе и феврале (до  $-45^{\circ}\text{C}$ ), максимальные (до  $+33^{\circ}\text{C}$ ) — в конце июня — июле месяце. Безморозный период — три месяца (июнь — сентябрь), в горной местности продолжительность его сокращается.

Растительный покров района относится к горной тундре и кустарниковой подзоне тундры с зональным распределением растительности. Склоны гор выше 100 м представляют собой типичные голицы с редким мохово-лицайниковым покровом. Ниже распространен кедровый стланник, а до высоты 500—600 м растет ольха и карликовая бересклет, образующие в крупных долинах труднопроходимые заросли.

Из представителей животного мира встречаются: бурый медведь, росомаха, волк, горный баран, заяц, тарбаган, лиса, евражка. Из птиц обитают гуси, утки, куропатки, чайки. Реки и озера изобилуют рыбой, особенно лососевой (в период нереста).

Население и дороги в районе отсутствуют. Изредка встречаются олени тропы. Ближайший населенный пункт — пос. Ачайвайям — расположен в 80 км юго-западнее района. В летнее время на отдельных участках по долинам рек могут передвигаться выночные лошади и олени. Крупные задернованные долины рек Ачайвайям и Умайолгивам доступны для бездорожья. На галечных косах рек Ачайвайям, Укэляйт и оз. Эпильчик возможна посадка самолета АН-2.

Начало геологическому изучению района положено в 1937 г. маршрутными исследованиями экспедиции Всесоюзного Арктического института под руководством И. Г. Николаева. И. Г. Николаев и Д. М. Колесов (1945) на рассматриваемой территории выделили две свиты мезозойского возраста: ватынскую — вулканогенно-кремнистую (верхнего мела) мощностью 3—4 км и ильпийскую — терригенную (верхний мел — палеоген (?)) мощностью 1600—1800 м. Последняя перекрывает ватынскую свиту согласно, либо с небольшим стратиграфическим перерывом. Наблюдавшиеся в поле контакты свит тектонические, но были замечены признаки постепенного перехода отложений.

Из кайнозойского комплекса, в пределах данной территории по И. Г. Николаеву развиты: вулканогенная толща эоценена мощностью 800—900 м, перекрывающая несогласно породы ватынской и ильпийской свит, и Укэляйтская свита позднеолигоценового возраста, сложенная терригенными породами мощностью 800—850 м. Из проявлений полезных ископаемых отмечалась расщепленность сульфидов (пирит, халькопирит) и железо-марганцевое оруденение среди пород ватынской свиты.

В 1954 г. в центральной части Корякского нагорья проводили съемку в м-бе 1:500 000 А. Л. Ткачук и П. А. Белоусов от экспедиции Дальстроя, впоследствии Северо-Восточного геологического управления (СВГУ). В площадь их съемки вошла только северо-западная часть рассматриваемого района, на которой ими выделена песчано-сланцевая флишеподобная свита нижнемелового возраста мощностью 1500 м. Площадь съемки оценена как перспективная в отношении ртути.

В 1956 г. рассматриваемая территория южнее параллели 61°50' была заселена в м-бе 1:1 000 000 партий Ю. П. Ершова (1957 г.), работавшей в составе Корякской экспедиции Научно-исследовательского института геологии Арктики (НИИГА) под руководством Б. Х. Егиазарова. Ватынская свита расчленена Ю. П. Ершовым на четыре самостоятельные свиты (снизу вверх): 1) натальинскую, сложенную преимущественно основными эфузи-

вами и их туфами, мощностью 1000—1200 м, 2) ачайвайямскую, представленную кварцитами, туфами и эфузивами основного состава с прослойми терригенных пород, мощностью 700—800 м, 3) амаянскую, состоящую в основном из кремнистых пород, мощностью 1000—1100 м и 4) этельвайямскую, существенно кремнистую, мощностью 900—1000 м. Нижние три свиты отнесены к верхнему мелу, переходы между ними постепенные. Этельвайямская свита датирована сеноном. Контакты этельвайямской свиты с другими свитами тектонические, предполагалось ее залегание с угловым несогласием. Возраст ильпийской свиты, залегающей согласно на этельвайямской свите, был принят палеогеновым. Мощность ее определена в 1100—1200 м. Установлено, что вулканогенная толща эоценена, описанная И. Г. Николаевым является сборной, и часть ее принадлежит ватынской свите. Из состава вулканогенной толщи была выделена ачайвайямская свита мощностью около 1000 м, условно неогенового возраста и комплекс нижне-среднечетвертичных недислокированных вулканогенных пород, объединенных в апукскую свиту. Из проявлений полезных ископаемых в шлихах установлена киноварь, галенит, золото и самородная медь.

В 1957 г. в бассейне р. Укэляйт проводились стратиграфо-увязочные работы Б. Х. Егиазаровым, Г. К. Пичугиной, К. С. Агеевым (1958). В пределах рассматриваемого района все терригенные отложения объединены ими в ильпийскую серию апт-сеноманского возраста, мощностью 2500 м. Учитывая сложность строения и отсутствие четкой стратиграфической характеристики отложений ильпийской и ватынской свит, Б. Х. Егиазаров в 1958 г. предложил считать их сериями. Для ватынской свиты название «серия» было предложено В. А. Титовым в 1957 г. на Межведомственном стратиграфическом совещании по Северо-Востоку СССР (1959 г.). Укэляйтскую свиту И. Г. Николаева Б. Х. Егиазаров параллелизует с верхней частью отложений ильпийской серии.

В дальнейшем Б. Х. Егиазаров (1961, 1963) пришел к выводу о том, что ильпийская серия представляет собой сборное стратиграфическое подразделение, в состав которого входят досенонские (сеноман-туронские по крайней мере), сенонские и, вероятно, палеогеновые терригенные отложения.

В 1957 г. в районе оз. Эпильчик проводил работу поисковый отряд Е. Е. Белкова (1958). Образования ватынской серии были сопоставлены им условно с палеозойскими породами бассейна р. Хатырки. Впоследствии было доказано их различие (Егиазаров, Пичугина, Агеев, 1958).

В 1961 г. в верховых р. Этельвайям А. Н. Успенским и С. И. Андреевым (1962) проведено обследование рудопроявления ртути, обнаруженного в 1959 г. А. В. Дитмаром, А. Н. Успенским, А. С. Финогентовым. В результате работ установлено несколько коренных выходов киновари содержащих пород, в том числе с богатым содержанием, и повсеместная, в пределах участка, рассеянная ртутная минерализация. Рудообразование связывается с разрывными нарушениями северо-восточного и северо-западного направлений. Изучение свойств пород, по данным вертикального электроразведки, утвердили исследователей во мнении, что ильпийская серия залегает на ватынской.

В 1961 г. по правобережью р. Ачайвайям вели геологосъемочные работы Г. А. Закржевский, Н. В. Устинов, М. М. Поляков, В. В. Матвеев (1962). Ими установлено широкое развитие рыхлых четвертичных осадков в депрессии, а на склонах гор — пород ватынской серии, в которую были включены эфузивы, относимые ранее Ю. П. Ершовым (1957) к ачайвайямской свите.

В 1959 и 1960 гг. А. В. Дитмаром, А. С. Финогентовым и А. Н. Успенским заселена северная половина территории листа, а в 1961 и 1962 гг. А. В. Дитмаром, К. С. Агеевым и А. С. Финогентовым заселена южная часть территории листа и проведены редакционно-увязочные маршруты в бассейнах рек Ачайвайям и Матысвен. Целью последних являлось выяснение взаимоотношений ильпийской и ватынской серий. Результаты работ содержат существенно новые данные по стратиграфии и тектонике вулканогенно-кремнистой серии. В составе серии по литологическим признакам выделены четыре толщи (отличные от выделенных Ю. П. Ершовым). Это подразделение при-

иця автором в настоящей работе. По всему разрезу обнаружены обильные остатки пелеципод, что позволило окончательно определить сенонский возраст всей ватынской серии. Подтверждено существование вулканогенной ачайваемской свиты, в отложениях которой обнаружен комплекс фауны, впервые позволивший уверенно датировать свиту маастрихтом. Выявлены терригенные отложения плиоцена (?), содержащие остатки флоры. Установлен постепенный переход терригенного комплекса ильпийской серии вверх по разрезу к вулканогенно-кремнистому комплексу ватынской серии и более древний возраст ильпийской серии относительно ватынской, вопреки существовавшим до сих пор представлениям о строении данного района. В настоящей работе в поле развития ильпийской серии выделены аяонская толща, тавенская, аянкинская и энчайвеемская свиты. Венчают разрез образования апукской серии раннечетвертичного возраста. Обнаружены коренныерудопроявления ртути, марганца, хрома и графита.

Материалы геологосъемочных и редакционно-увязочных работ нашли свое отражение в тектонической карте Корякской складчатой области м-ба 1:2 500 000 (Егиазаров, Русаков, 1960), являющейся частью тектонической карты СССР того же масштаба, составленной под редакцией Т. Н. Спижарского, в геологической карте листа Р-59 м-ба 1:1 000 000, карте полезных ископаемых и в объяснительных записках к ним (Егиазаров, Дундо, 1961). Он были использованы при разработке темы «Геология и полезные ископаемые восточной части Корякского нагорья» под руководством Б. Х. Егиазарова (Егиазаров, Аникеева, и др., 1962). В этих сводных работах рассматриваются основные черты геологического строения региона и закономерности размещения в его пределах полезных ископаемых.

В 1963 г. на правобережье р. Укэлят проводили тематические исследования О. П. Дундо и Б. Е. Ермаков. Ими выделено в терригенном комплексе несколько литологически различных толщ, часть которых отнесена к ильпийской серии, а остальные выделены из ее состава и признаны синхронными отложениям ватынской серии, либо их перекрывают. В верхней толще обнаружено два отпечатка фауны плохой сохранности предположительно позднемелового возраста.

В том же году в районе оз. Эпильчик и устья р. Этэльвам тематическими работами Л. И. Аникеевой и К. С. Агеевым уточнена стратиграфия участка развития гипербазитов и установлена субсогласная форма этих интрузий. Ими предложено в виду фациальной невыдержанности пластов средней части разреза ватынской серии объединить для данной территории красноцветную кремнистую и сероцветную вулканогенно-кремнистую толщи в одну — пестроцветную. Установлено, что интрузии гипербазитов сложные, многофазные, имеют форму факолита при согласном залегании с вмещающими породами.

В 1958—1963 гг. на территории Корякского нагорья проводилась аэромагнитная съемка м-ба 1:200 000 силами аэрогеофизических партий Северо-Восточного геологического управления. Материалы по территории данного листа в настоящее время не обработаны.

По данным Г. П. Горшкова, составившего карту сейсмического районирования территории СССР (1948), площадь листа расположена в области низкой сейсмичности — до 5 баллов.

При составлении геологической карты листа Р-59-XXII, карты полезных ископаемых и объяснительной записи к ним использован фактический материал геологической съемки территории листа м-ба 1:200 000, собранный А. В. Дитмаром, А. Н. Успенским, А. С. Финогентовым (1960, 1961 гг.), А. В. Дитмаром, К. С. Агеевым, А. С. Финогентовым (1962, 1963 гг.). Частично использованы материалы Г. А. Закржевского, Н. В. Устинова, М. М. Полякова, В. В. Матвеева (1962 г.), О. П. Дундо, Б. В. Ермакова (1963 г.) и Л. И. Аникеевой, К. С. Агеева (1963 г.). Также были учтены материалы тематических исследований и данные по смежным территориям.

Все геологические съемки проводились с привлечением аэрофотоматериалов, дешифрируемость которых для всей территории листа плохая.

Геологическая карта листа Р-59-XXII в северо-западном углу не увязана с макетом геологической карты листа Р-59-XV (автор Н. Н. Пагольский). Это вызвано различным толкованием возраста (и названия) некоторых толщ и свит, сбитых по простираннию литологически и по структурам. Ритмично переслаивающиеся алевролиты, песчаники и глинистые сланцы, выделенные на территории листов Р-59-XXI, XXII как аяонская толща, преимущественно песчаниковые отложения тавенской свиты, а также существенно песчаниковые отложения энчайвеемской свиты Н. Н. Пагольским (1965) рассматриваются как образования палеогенового возраста. Основанием для этого является находка Н. Н. Пагольским переотложенной фауны маастрихтского возраста в гальке конгломератов тавенской свиты (Пагольский, 1965). Автор настоящей записи (как и автор смежного листа Р-59-XXI Г. А. Закржевский, 1963) с такой точкой зрения согласиться не могут, поскольку нами установлено согласное залегание на породах тавенской свиты вулканогенно-кремнистых образований ватынской серии, содержащих фауну сантон-кампана — кампана. Таким образом, отложения объединенные в тавенскую свиту так же, как и подстилающие ее отложения аяонской толщи, являются более древними осадками относительно пород ватынской серии сантон-кампанско-го возраста, а не более молодыми. Вопрос о возрасте энчайвеемской свиты остается открытым. Нам представляется правильным ее позднемеловой возраст. Установленные Н. Н. Пагольским данные относятся, как нам кажется, не к тем толщам, которые обнажаются на территории смежной с нашим листом, а к более молодым толщам близкого состава, распространенным к северо-западу.

## СТРАТИГРАФИЯ

На территории листа Р-59-XXII развиты осадочные и изверженные породы раннемелового, позднемелового, палеогенового, неогенового (?) и четвертичного возрастов. Господствуют сенонские образования, которые в северной части района представлены терригенными отложениями, а на оставшейся территории — эфузивными, туфогенно-осадочными и кремнистыми породами. Терригенные породы нижнего мела развиты на северо-востоке района, палеогеновые осадки — на юго-западе. Грубообломочные отложения, относимые к неогену (?), установлены в двух выходах на юге района. В его западной части широко развиты эфузивные образования неогенового и нижне-среднечетвертичного возраста. Четвертичные рыхлые осадки встречаются повсеместно, но наиболее широко они развиты на северо-востоке и юго-западе территории.

## МЕЛОВАЯ СИСТЕМА

### Нижний отдел

#### Валанжинский ярус

Пекульнейская серия (Сг<sub>1</sub>, рк?). Отложения, отнесенные условно к пекульнейской серии, развиты на левобережье р. Укэлят в северо-восточной части района. Представлены они терригенными породами — алевролитами, песчаниками с прослоями конгломератов. Алевролиты содержат известковистые конкреции. С вышележащими толщами отложения соприкасаются по тектоническому контакту.

И. Г. Николаев (1945) относил данные отложения в укэлятской свите верхнеолигоценового возраста. Последующие исследователи считали их принадлежащими ильпийской серии верхнего мела. Авторами данных отложений выделяются условно в пекульнейскую серию вследствие литологического сходства с породами этой серии, развитыми севернее, в верховых р. Пинкасъя, где они содержат раковины валанжинских ауцелл.

Таблица 1

Схематизированный стратиграфический разрез (без рыхлого четвертичного покрова) для территории листа Р-59-ХХII

<i>Q<sub>1</sub></i>	Апукская свита ( <i>Q<sub>1 ap</sub></i> ) ~ 400 м		
Плиоцен	Корфовская свита ( <i>Nkr</i> ) 460—1160 м		
Миоцен			
Олигоцен	Ильпинская свита ( <i>Pg<sub>3</sub>—N<sub>1,II</sub></i> ) ~ 100 м		
Датский	Маастрихт- ский— датский	Ачайваемская свита ( <i>Cr<sub>2 ac</sub></i> ) ~ 1000 м ?	Эпичайвемская свита ( <i>Cr<sub>2 gen</sub></i> ) 350—700 м
Сенонский	Сантон- ский — кам- панийский	Ватынская серия ( <i>Cr<sub>2 vt</sub></i> ) 3350—5530 м	Аянкинская свита ( <i>Cr<sub>2 an</sub></i> ) 900—1450 м
	Коньякский	Тавенская свита ( <i>Cr<sub>2 tv</sub></i> ) 1000—1450 м	?
		Аяонская толща ( <i>Cr<sub>2 aj</sub></i> ) ~ 1000 м	
		Тектонический контакт	
Валанжинский		Пекульнейская серия ( <i>Cr<sub>2 pk</sub></i> ) 750—1300 м	

Наиболее полные разрезы серии наблюдались по двум левым притокам р. Укэляйт, впадающим в нее в 10 и 14 км западнее восточной рамки листа. Сводный разрез по обоим ручьям следующий (снизу вверх):

- Черные рассланцованные алевролиты с многочисленными известковистыми конкрециями. Встречаются хорошо окатанные гальки алевропелитового состава. Местами наблюдается очень грубая косая слоистость. Видимая мощность 200—300 м
  - Мелкогалечные конгломераты с базальным алевритовым цементом. Галька состоит из алевролитов и песчаников, размер ее 2—5 см, реже до 20 см. Конгломераты содержат прослон алевролитов.
  - Черные рассланцованные алевролиты, местами слабо ожелезненные
  - Массивные, неяснослоистые сильноокремненные мелко-зернистые темно-серые полимиктовые песчаники плотные, местами карбонатизированные
  - Черные плотные неяснослоистые сильно окремненные алевролиты с прослоями (0,3—7 м) плотных темно-серых мелко-зернистых песчаников, местами окварцовых и пиритизированных
- Выше залегают (за пределами листа) вулканомиктовые песчаники.

Общая мощность отложений пекульнейской серии в пределах исследованной территории 750—1300 м.

Аналогичные, но менее полные разрезы серии наблюдались по другим левым притокам р. Укэляйт. У восточной границы листа в низах разреза отложений (ниже конгломератов) появляются невыдержаные по простираннию пласты массивных неяснослоистых вулканомиктовых песчаников. Органических остатков в отложениях не обнаружено, возраст их принимается условно по аналогии с возрастом пород серии в верховьях р. Пикасльяям.

### Верхний отдел

#### Нижняя часть сенонского надъяруса (?)

Аяонская толща (*Cr<sub>2 aj</sub>*). Отложения аяонской толщи развиты в северо-западной части района в истоках р. Укэляйт Правая на периклиналь — в верховьях правого крупного притока р. Укэляйт и в районе горы Бараньей. Нижняя граница толщи не установлена, перекрывается она согласно отложениями тавенской свиты.

Плохая обнаженность выходов толщи не позволяет с достаточной полнотой установить ее разрез. Толща сложена мощными пачками алевролитов и глинистых сланцев с редкими прослоями песчаников и пепловых туфов, линзами гравелитов и известняков. Иногда в ее составе встречаются существенно песчаниковые пачки.

Наиболее полный разрез наблюдался в среднем течении самого крупного (в пределах листа) правого притока р. Укэляйт (снизу вверх):

- Черные алевролиты 100 м
- Пачка чередующихся (по 0,4—0,6 м) гравелитов и крупно-зернистых песчаников 50 ..
- Пачка чередующихся алевролитов и глинистых сланцев с редкими прослоями небольшой мощности средне- и крупнозернистых песчаников. Алевролиты содержат рассеянную гальку песчаников, известковистых алевролитов, реже яшм (до 5 см в перечнике).
- Пачка переслаивающихся (по 0,03—0,05 м) алевролитов и мелкозернистых песчаников ~ 550 ..
- Черные алевролиты с прослоями глинистых сланцев 40 ..
- Пачка тонко чередующихся мелкозернистых песчаников (0,02—0,05 м) и алевролитов (0,03—0,15 м). 90 ..
- Пачка переслаивающихся (по 0,03—0,3 м) темно-серых мелко- и среднезернистых песчаников и алевролитов. 100 ..
- Выше обнажаются песчаники тавенской свиты. 70 ..

Мощность отложений в этом разрезе 1000 м.

В 5 км восточнее в верхней части разреза присутствуют обильные конкреции известняков и редкие линзы известняков и гравелитов. В самых верхних горизонтах изредка встречаются прослои пепловых туфов.

Аналогичные, но менее полные разрезы встречены в районе горы Бараньей, северо-западнее горы Ледяной и в истоках р. Укэляйт Правая.

Суммарная мощность отложений аяонской толщи около 1000 м. Отсутствие органических остатков не позволяет уверенно говорить о возрасте толщи. Условно она отнесена к нижнему сенону, исходя из ее стратиграфического положения в разрезе.

Тавенская свита (*Cr<sub>2 tv</sub>*). Отложения тавенской свиты развиты на северных склонах хр. Укэляйт и на его южных склонах в бассейнах рек Ильпи и Матыкен. Небольшие участки они слагают по правому и левому берегам р. Укэляйт и западнее горы Ледяной. Их выходы приурочены к антиклинальным перегибам.

Отложения тавенской свиты залегают согласно на породах аяонской толщи. Граница между ними проводится по исчезновению в разрезе мощных

пачек алевролитов и песчаников, характерных для аяонской толщи, и по появлению ритмично переслаивающихся образований того же состава, свойственных тавенской свите.

Сложная дислоцированность пород свиты, наряду с их плохой обнаженностью, не позволяет установить достоверные соотношения отдельных частей разреза. Тавенскую свиту слагают полимиктовые песчаники и алевролиты, в подчиненном количестве присутствуют глинистые сланцы, пепловые туфы и известняки.

Наиболее полные разрезы свиты наблюдались на северных отрогах горы Ледяной, на правобережье р. Укэлят в 5 км восточнее высоты 1582, в истоках правого крупного притока р. Укэлят и в долине р. Матыскен.

Свита характеризуется преимущественно ритмично переслаивающимися песчаниками и алевролитами. Ритмы изменяются по мощности от 0,5 до 3,0 м. В большинстве случаев они начинаются со среднезернистых песчаников, но иногда с тонкозернистых песчаников. Соотношение песчаников и алевролитов в ритмах различных частей разреза непостоянно и изменяется соответственно от 1:4 до обратного.

На правобережье р. Укэлят, в 5 км восточнее высоты 1582, разрез свиты (снизу вверх) следующий:

1. Тонко чередующиеся (по 0,02—0,07 м) мелко- и среднезернистые песчаники и алевролиты . . . . .	300 м
2. Переслаивающиеся серые среднезернистые песчаники (0,6—1,5 м) и алевролиты (0,1—0,15 м). Песчаники содержат обломки алевролитов . . . . .	200 ..
3. Черные листоватые алевролиты и глинистые сланцы, содержащие уплощенные известковистые конкреции . . . . .	80 ..
4. Чередующиеся пласти (0,9—1,5 м) массивных среднезернистых песчаников и пачки (1—1,5 м) тонко переслаивающихся среднезернистых песчаников и алевролитов . . . . .	180 ..
5. Черные алевролиты с карбонатными конкрециями и редкими прослойками темно-серых мелкозернистых песчаников . . . . .	100 ..
6. Пачка переслаивающихся темно-серых мелкозернистых песчаников (0,05—0,1 м) и алевролитов (0,2—0,3 м) . . . . .	150 ..
7. Черные алевролиты с известковистыми конкрециями . . . . .	200 ..
8. Переслаивающиеся серые среднезернистые песчаники и алевролиты в слоях мощностью 0,2—0,3 м, образующих пачки 1,5—4 м мощности. Эти пачки разделены пластами (по 0,8—6,0 м) среднезернистых песчаников . . . . .	100 ..
9. Черные алевролиты с известковистыми конкрециями и тонкими прослойками полосчатых мелкозернистых песчаников . . . . .	140 ..

Выше без видимого несогласия залегает горизонт конгломератов основания аянкинской свиты.

Мощность свиты в приведенном разрезе 1450 м.

Аналогичные разрезы встречены по многим правым притокам р. Укэлят, в верховьях р. Ильпи и севернее горы Бараньей, где мощность свиты сокращается до 1000 м.

В верхней части тавенская свита представлена преимущественно алевролитами. Среди них наблюдаются вначале очень мелкие линзы яшм и эфузивов, количество и размеры которых увеличиваются к верху разреза. По появлению в разрезе среди терригенных пород вулканогенно-кремнистых образований проводится нижняя граница переходной толщи, отнесененной к нижней ватинской серии.

Для западной части района в разрезе свиты более развиты алевролиты; венчает разрез горизонт (7—8 м) пористых беловато-серых известняков. По кровле этих известняков условно проводится здесь верхняя граница свиты.

На южных и восточных отрогах горы Ледяной, а также на водораздельной части хр. Укэлят в верхней части разреза тавенской свиты присутствует горизонт (от 30 до 70 м) железистых полимиктовых светло-серых среднезернистых рассланцованных песчаников.

Общая мощность свиты колеблется в пределах 1000—1450 м.

В верховьях правого притока р. Укэлят в водораздельной части одноименного хребта (в 4 км к северо-востоку от выс. 1921) в средней части разреза свиты алевролиты и глинистые сланцы содержат комплекс спор и пыльцы: *Lycopodium aff. marginatum* K.—M., *Leiotiletes* sp., *Ginkgo* sp., *Podosamites* sp., *Pinus* sp. подрода *Haploxyylon*, *Pinus* sp. подрода *Diploxyylon*. Состав единичных хвойных пыльцевых зерен и их структура дают основание предположить относительно молодой возраст отложений — мезозойский, не древнее верхних горизонтов нижнего мела (определения Н. Н. Муратовой и В. В. Павлова). Присутствующие формы пыльцы покрыты семянными растений позволили бы, по заключению Н. Н. Муратовой, установить нижнюю стратиграфическую границу в сеноне, если бы они не были единичными и имели лучшую сохранность.

Возраст рассматриваемых отложений по заключенным в них органическим остаткам можно предполагать позднемеловым. Принимая во внимание более низкое стратиграфическое положение этих отложений относительно согласно перекрывающих их пород ватинской серии, можно считать время их формирования предшествующим сантон-кампанскому. Автор разделяет мнение О. П. Дундо (1962), который на основе анализа материалов по стратиграфии меловых отложений всей восточной части Корякского нагорья пришел к выводу о том, что время формирования отложений тавенской свиты и аяонской толщи относится к сеноману — раннему сенону.

#### САНТОНСКИЙ — КАМПАНСКИЙ ЯРУСЫ

Ватинская серия ( $Cr_2 vt$ ). Отложения ватинской серии пользуются широким распространением в центральной и юго-восточной частях территории листа, занимая половину его площади. Породами этой серии сложены хребты Ватына, Снеговой и южные склоны хр. Укэлят с массивом горы Ледяной.

Нижняя стратиграфическая граница отложений этой серии прослеживается от горы Ледяной по хр. Укэлят в бассейны рек Ильпи и Матыскен. Образования ватинской серии всюду залегают согласно с постепенным переходом на породы тавенской свиты. Ватинская серия в целом полого погружается к юго-западу, ее верхняя граница находится в южной части района и прослеживается от устья р. Покляваем по юго-восток южнее гор Черной и Утретен и далее в том же направлении.

Ватинская серия перекрывается с угловым несогласием вулканогенными образованиями корфовской свиты, либо породами ачайваймской свиты без видимого углового несогласия.

В составе серии преобладают кремнистые породы и эфузивы основного состава. В подчиненном количестве присутствуют туфы основных пород, игнимбриты, полимиктовые песчаники, гравелиты, кремнисто-глинистые сланцы, алевролиты, известняки, покровы андезитоидных дакитов и риолитовых порфиров.

Кремнистые породы содержат сингенетические примеси, обусловливающие различную их окраску, которая выдерживается на значительные расстояния по простиранию пачек и является одним из существенных маркирующих признаков. Отличительными особенностями различных частей разреза серии являются также состав и облик эфузивов, наличие пачек осадочных пород, различающихся по вещественному составу и слоистости. Вообще фациальный состав серии весьма изменчив. Это отчетливо проявляется на эфузивах, которым свойственно быстрое выклинивание на коротких расстояниях. Для осадочных пород непостоянство фациального состава по простиранию выражено не столь резко.

По совокупности перечисленных признаков ватинская серия в пределах рассматриваемой площади подразделяется на четыре толщи (снизу вверх): 1) алеврито-вулканогенно-кремнистую, 2) красноцветную кремнистую, 3) се-роцветную вулканогенно-кремнистую, 4) черноцветную вулканогенно-кремнистую.

Алевролито-вулканогенно-кремнистая толща ( $Cr_2\text{ut}_1$ ) прослеживается по всему вдоль границы с тавенской свитой, образуя узкую извилистую полосу от горы Ледяной по водораздельной части хр. Укзаят и далее по бортам долин рек Ильи и Матысken. Два небольших выхода пород этой толщи встречены в мульдах на северном склоне хр. Укзаят, и два — в антиклинальных перегибах к северу от оз. Эпильчик и на водоразделе хр. Ватына у восточной границы района.

Толща состоит, приблизительно в равном соотношении, из эфузивов основного состава (базальтовых и диабазовых порфиритов, реже спилитов) и осадочных пород. В составе последних присутствуют как терригенные породы, характерные для тавенской свиты (черные алевролиты, серые полимиктовые песчаники), так и кремнистые и туфогенные образования, типичные для ватынской серии, с присущей им красной, зеленой и серой окраской. Эта особенность позволяет рассматривать алевролито-вулканогенно-кремнистую толщу, как переходную между тавенской свитой и ватынской серией. В осадочных породах толщи встречаются обломки крупных радиальноребристых иноцерамов, ближе неопределимых.

Строение толщи выявлено в пределах долины р. Матысken и в районе горы Ледяной. Наблюдается уменьшение ее мощности в северо-западном направлении. Максимальная же мощность толщи зафиксирована по второму снизу правому притоку р. Матысken, к западу от горы Конечной, где имеется наиболее полный ее разрез. На алевролитах и песчаниках тавенской свиты здесь согласно залегают:

1. Пачка переслаивающихся (слои по 12—30 м) черных алевролитов и зелено-бурых базальтовых порфиритов	190 м
2. Черные алевролиты со слоями полимиктовых мелкозернистых песчаников	10 ..
3. Светло-зеленые спилиты	4 ..
4. Черные алевролиты со слоями зеленых яшм	около 10 ..
5. Мелкозернистые серые полимиктовые песчаники	около 8 ..
6. Черные алевролиты	4 ..
7. Темно-зеленые базальтовые порфириты	20 ..
8. Зеленые яшмы	15 ..
9. Зеленые базальтовые порфириты с линзами яшм, мощностью до 2 м	30 ..
10. Псефитовые буровато-зеленые туфы с обломками призматического слоя иноцерамов (?)	10 ..
11. Черные алевролиты со слоями яшм и покровами (мощность до 3 м) порфиритов	30 ..
12. Пачка буровато-зеленых миндалекаменных порфиритов основного состава с подушчатой отдельностью	около 300 ..
13. Черные алевролиты	около 12 ..
14. Зеленые яшмы	2 ..
15. Яшмы, переслаивающиеся с черными алевролитами	6 ..
16. Зеленые базальтовые порфириты	12 ..
17. Черные алевролиты с линзами туфов и яшм	7 ..
18. Базальтовые порфириты с линзами зеленых и красных яшм	60 ..
19. Черные алевролиты	около 100 ..

Выше залегает пачка мощностью около 30 м, сложенная основными порфиритами с линзами яшм. Терригенные породы в ней отсутствуют. По подошве этой пачки проводится верхняя граница переходной алевролито-вулканогенно-кремнистой толщи.

В приведенном разрезе мощность толщи составляет 830 м. В западном направлении она значительно уменьшается: у горы Пик достигает всего 300 м, а в южных р. Ильи — сокращается примерно до 120 м. В том же направлении по правобережью р. Матысken значительно уменьшается количество эфузивов в разрезе при небольшом увеличении туфов. Уменьшается мощность толщи и по направлению к северу. На левобережье р. Матысken

она достигает 300 м (у горы Длинной), а местами сокращается до нескольких десятков метров (северо-западнее горы Сычуей), т. е. почти выклинивается.

В районе горы Ледяной мощность алевролито-вулканогенно-кремнистой толщи незначительна. Так, в истоках правого крупного притока р. Укзаят, толща представлена чередующимися прослойями (по 3—4 м) алевролитов и яшм общей мощностью от 70 до 130 м. Иногда в толще присутствуют линзующиеся покровы базальтовых порфиритов мощностью до 20 м. Южнее горы Ледяной алевролито-вулканогенно-кремнистая толща, залегающая согласно на алевролито-песчаниковых отложениях тавенской свиты, в низах разреза состоит из алевролитов, в которых присутствуют редкие мелкие линзы яшм и песчаников (0,5—3 см, реже до 20 см). Количество линз яшм вверх по разрезу постепенно увеличивается до 60—70%. Местами алевролиты интенсивно рассланцованны и линзы обмяты, породы приобретают облик мионитизированных конгломератов. Мощность толщи изменяется от 50 до 300 м. Общая мощность алевролито-вулканогенно-кремнистой толщи устанавливается от 50 до 830 м.

Красноцветная кремнистая толща ( $Cr_2\text{ut}_2$ ). Выходы пород, слагающих эту толщу, приурочены к водораздельной части хр. Укзаят, между речью Ильи и Матысken и правобережью последней, где они слагают мульды крупных синклиналей субширотного простириания. Кроме того, породы красноцветной кремнистой толщи развиты на юго-западном склоне хр. Снежного — южнее горы Снежной и перевала Ватына, где участвуют в строении антиклиналей.

Отложения толщи согласно залегают на породах алевролито-вулканогенно-кремнистой толщи и согласно перекрываются более молодыми отложениями сероцветной вулканогенно-кремнистой толщи.

Красноцветная кремнистая толща сложена преимущественно яшмами, буро-красными и зелеными, реже серыми. В подчинении количестве встречаются пачки тонко переслаивающихся (по 3—20 см) яшм и сильно окремненных пепловых туфов и игнимбритов, а также покровы (5—7 м) эфузивов основного состава и линзы известняков.

Наиболее полный разрез толщи прослежен в восточной части района по правому верхнему притоку р. Ватына, где на верхних горизонтах алевролито-вулканогенно-кремнистой толщи ( $Cr_2\text{ut}_1$ ), представленных кремнисто-глинистыми породами с прослойями алевролитов залегают (снизу вверх):

1. Пачка переслаивающихся красных, зеленых и серых яшм	около 150 м
2. Полосчатые (серые, зеленые, розовые) яшмы	30 ..
3. Красно-серые яшмы	40 ..
4. Красно-бурые яшмы, содержащие линзы браунита и родохрозита. Внизу прослои серо-зеленых яшм. Породы содержат остатки иноцерамов и пателл	55 ..
5. Красные яшмы с прослойями (10—20 см) серо-зеленых яшм. Остатки иноцерамов и пателл	35 ..
6. Переслаивающиеся зеленые и светло-красные яшмы	40 ..
7. Красные яшмы с прослойями окремненных туфов	20 ..
8. Красно-бурые яшмы	80 ..
9. Зелено-серые базальтовые порфириты	60 ..
10. Красные яшмы с подчиненными прослойями зеленых базальтовых порфиритов	100 ..
11. Красно-бурые яшмы с подчиненными прослойями зеленых яшм	около 100 ..
12. Красные яшмы с остатками иноцерамов и пателл	около 70 ..
13. Серо-зеленые яшмы. Видимая мощность	30 ..
Перерыв в обнаженности, соответствующий мощности по разрезу около 50 м.	
14. Красные яшмы	200 ..
Мощность толщи в упомянутом разрезе 1060 м.	

Выше согласно залегает пачка пестрых яшм основания сероцветной вулканогенно-кремнистой толщи.

Описанный состав красноцветной кремнистой толщи сохраняется в общих чертах в пределах всей территории листа. Однако невыдержанность фационального состава заметна даже в пределах исследованного района. Так, в верховьях правого притока р. Этельваем в разрезе толщи, мощностью 1100 м, развиты туфы порfirитов, базальтовые порfirиты, игнimbриты, а количество яшм несколько уменьшено.

В районе горы Ледяной мощность толщи сокращается до 600 м.

Яшмы красноцветной кремнистой толщи обладают слоистостью разнообразного характера. Различаются следующие типы слоистости: а) очень тонкая равномерная слоистость — толщина слоев 1—3 см, б) тонкая равномерная слоистость — толщина слоев 3—8 см, в) средняя равномерная слоистость — толщина слоев 10—30 см, г) неравномерная слоистость — чередование без видимой закономерности слоев от нескольких см до 1—2 м.

Пачки перечисленных типов чередуются в разнообразном соотношении, в котором обычно незаметно какой-либо закономерности.

Окраска в яшмах развита только постепенно, что свидетельствует о синегенетичной осадкам ее природе. Сочетание в разрезе различно окрашенных слоев имеет в общем разнообразный характер. Часто развиты одноцветно-окрашенные пачки равномерно слоистых пород; встречаются равномернослойственные пачки, в которых чередуются слои красного и зеленого цвета.

Установлена четкая зависимость окраски яшм от состава примесей (Дитмар, Агеев, Финогентов, 1963). Красный цвет обусловлен примесью гидроокислов железа и гематита (до 30%), развивающихся по магнетиту, сингегетичному кремнезему. Зеленый цвет яшм определяется примесью вторичного хлорита, развивающегося по глинистому веществу. Серый цвет яшм обусловлен присутствием глинистого материала и находящегося в нем тонкодисперсной примесью растительного дегрита.

Цветовая ритмичность отражает закономерную смену во времени условий седиментации, определявших цвет осадка (кремнистого ила). В частностях, наблюдавшиеся рудопроявления марганца связаны только с красноцветными яшмами.

Для красноцветной кремнистой толщи характерно обилие горизонтов, насыщенных остатками фауны. В упомянутых разрезах насчитывается пять горизонтов. Кроме того, единичные обломки раковин встречаются и вне этих горизонтов почти по всему разрезу. Видовой приуроченности к определенным горизонтам не наблюдается. Н. С. Воронец и О. П. Дундо среди собранных А. В. Дитмаром, К. С. Агеевым, А. С. Финогентовым (1961, 1962, 1963 гг.) органических остатков определили: *Inoceramus ex gr. schmidti* Mich., *I. ex gr. schmidti* Mich. (*I. cf. orientalis* Sok.), *I. undulato-plicatus* Roëm., *Patella (Helcion) gigantea* Schmidt var. *nasuta* Schmidt, P. (*H.*) ex gr. *gigantea* Schmidt, P. (*H.*) *gigantea* Schmidt cf. var. *centralis* Schmidt.

В кремнистых породах всего разреза толщи присутствуют ближе неопределенные остатки радиолярий, фораминифер и олигостигии.

В слоях красно-бурых кремнисто-глинистых пород в устье правого верхнего притока р. Ватыны найдены скопления образований веретенообразной формы (диаметр до 2 см, длина до 10 см), выполненных красной яшмой. По заключению А. С. Зеленко и А. Г. Кравцова эти образования имеют органическое происхождение и являются, вероятно, копролитами животных.

Возраст отложений, вмещающих названную фауну, определяется сантон-кампанским.

Сероцветная вулканогенно-кремнистая толща ( $Cr_2 vt_3$ ). Выходы пород этой толщи приурочены к юго-западным склонам хр. Снегового, где ими сложено крыло крупной синклинали. Кроме того, они обнажаются на водоразделе хр. Снегового (в верховьях р. Этельваем) и в междуручье Ильи-Матыскин, выполнив мульды более мелких синклиналей.

Отложения толщи залегают согласно на породах красноцветной кремнистой толщи и согласно перекрываются породами красноцветной вулканогенно-кремнистой толщи. В ее составе участвуют яшмы, глинисто-кремнистые по-

роды, эфузивы основного состава (диабазы, базальты, порfirиты, андезиты), их туфы и игнimbриты. Изредка присутствуют линзы известняков. В окраске пород преобладает зелено-серый цвет различных оттенков и интенсивности.

Наиболее полный разрез сероцветной вулканогенно-кремнистой толщи наблюдался по правобережью верхнего правого притока р. Ватыны, где на пачке красных яшм красноцветной кремнистой толщи залегают (снизу вверх):

1. Серые и серо-зеленые тонкополосчатые яшмы . . . . .	около 100 м
2. Зелено-серые кремнистые породы . . . . .	50 "
3. Пестрая пачка из полосчатых яшм (красных, серо-зеленых, темно-зеленых, серо-черных, шоколадных, розовых). Наблюдаются ритмичность трех порядков. В мелких ритмах (мощностью 2—3 м) внизу преобладает белая и светло-зеленая, вверху — красная, бурая и черная окраска. Мезоритмы (30—40 м) построены по смене мелких ритмов с преобладанием какой-либо краски	250—400 ..
4. Зелено-серые массивные кремнистые породы с редкими линзами известняков . . . . .	более 300 ..
5. Беловато-серые кремнистые породы . . . . .	около 100 ..
6. Серо-зеленые диабазы, чередующиеся с базальтовыми порfirитами . . . . .	около 500 ..

Мощность отложений в данном разрезе 1300—1450 м.

В северо-западном направлении разрез толщи выдерживается таким же. К юго-востоку в разрезе увеличивается количество эфузивов и мощность его возрастает до 1700 м. Восточнее оз. Эпильчик кремнистые породы составляют около четверти разреза, резко преобладают вулканические породы. Среди последних заметную роль играют туфы порfirитов, пепловые туфы, игнimbриты основного состава. Реже встречаются андезиты и их туфы, изредка — линзы мраморизованных известняков.

Суммарная мощность толщи 1300—1700 м.

Кремнистые породы в нижних и верхних горизонтах разреза содержат скопления обломков крупных радиальноребристых иноцерамов (*Inoceramus sp.*).

Черноцветная вулканогенно-кремнистая толща ( $Cr_2 vt_4$ ). Породы толщи развиты на юге района, окаймляя с юга сероцветную вулканогенно-кремнистую толщу. Ее выходы приурочены к водоразделу и юго-западным склонам хр. Ватына. Кроме того, она обнажается в небольших мульдах в бассейне р. Этельваем.

Отложения толщи согласно залегают на породах сероцветной вулканогенно-кремнистой толщи. Взаимоотношения с перекрывающей ачайвайской свитой достоверно не установлены.

Толща сложена яшмами, кремнисто-глинистыми породами, вулканомиктовыми песчаниками, туфами, игнimbритами, гравелитами, алевролитами, конгломератами, известняками, а также базальтовыми и андезитовыми порfirитами, редко риолитами. Среди кремнистых пород преобладают черные и темно-серые разновидности. В составе толщи чаще, чем в более нижних толщах ватынской серии, встречаются эфузивы среднего состава. Разрез ее изменчив по простирации.

В основании толщи в бассейнах рек Этельваем и Ватанярчаваям присутствуют линзующиеся грубозернистые вулканомиктовые песчаники, гравелиты, иногда конгломераты. Конгломераты наблюдались только в междуречье нижней реки Этельваем и Ватанярчаваям. К северу они исчезают. В юго-восточном направлении конгломераты замещаются гравелитами (у оз. Эпильчик), а затем к востоку — песчаниками.

Разрез черноцветной вулканогенно-кремнистой толщи наиболее четко прослежен в истоках р. Умайолгвиям и по правым притокам р. Ватыны. В ее составе здесь выделяются следующие пачки (снизу вверх):

1. Пачка базальтов и базальтовых порфиритов темно-серо-зеленого цвета или с пестрой пятнистой серо-зелено-красно-буровой окраской. Породы массивные либо с подушчатой отдельностью. Покровы эффузивов мощностью по 40—170 м чередуются с туфами, вулканомиктовыми песчаниками, алевролитами, реже гравелитами и яшмами. Среди эффузивов в подчиненном количестве присутствуют андезиты и андезитоидные дациты.

2. Пачка переслаивающихся яшм (черного, темно-серого, серого, зелено-серого и изредка красно-коричневого цвета), глинисто-кремнистых пород, алевролитов, туфов и вулканомиктовых песчаников и гравелитов. Грубозернистые кластические породы окрашены преимущественно в темно-серый, черный, зелено-серый цвета. Местами встречаются единичные покровы базальтовых и андезитовых порфиритов, линзы известняков. Для этой пачки характерно присутствие выклинивающихся по простиранию пачек слоистых яшм, мощность которых достигает 150 м. Яшмы содержат (в отдельных слоях весьма обильные) обломки раковин крупных радиально-ребристых иноцерамов и гигантских колпачковых гастропод. Обычно яшмы участвуют в строении разреза в виде отдельных прослоев среди других пород. Чередование слоев различного состава имеет нередко ритмичный характер. Ритмы начинаются гравелитами, грубозернистыми песчаниками (или псевфитовыми, псаммитовыми туфами), сменяющимися вверх по разрезу породами с последовательно убывающей размерностью зерен и венчающимися алевролитами, переходящими постепенно в пелитолиты (яшмы, либо кремнистые пепловые туфы). Мощность ритмов колеблется от 0,15 до 0,50 м. Мощность осадочно-кремнистой пачки . . . . .

3. Пачка переслаивающихся туфов основных эффузивов, игнимбритов, вулканомиктовых песчаников, гравелитов и алевролитов с резко подчиненными прослойками яшм. По размерности зерен присутствуют породы от псевфитовых до пелитовых. Мощность слоев колеблется от 0,5 до 3,0 м, достигая у псевфитовых туфов и вулканомиктовых гравелитов 6—7 м. В нижней части пачки (мощностью около 300 м) господствуют тонкослоистые преимущественно тонкообломочные породы — от псаммитовых до пелитовых. Верхняя часть пачки (мощностью около 200 м) сложена более грубозернистыми преимущественно псевфитовыми разностями туфов и вулканомиктовых гравелитов с толстыми и массивнослоистым строением. Переход между нижней и верхней частями пачки постепенный в регressiveйной последовательности. В северо-западном направлении пачка выклинивается, а западнее оз. Гыттын — отсутствует . . . . .

4. Пачка эффузивов. В нижней части пачки господствуют базальты и базальтовые порфириты пестрой зелено-буровой окраски с подушчатой отдельностью. Выше преобладают базальтовые порфириты, диабазы, диабазовые порфириты темные зелено-серые, преимущественно массивные. Вверху развиты диабазы и диабазовые порфириты темные зеленовато-серого цвета. Среди основных пород присутствуют андезиты и риолитовые порфиры и линзы яшм (мощностью 0,1—2,0 м), содержащие иногда обломки раковин иноцерамов . . . . .

Общая мощность толщи 1400—1900 м.

не менее 750 м

500—600 ..

0—400 ..

150 ..

Возраст черноцветной вулканогенно-кремнистой толщи устанавливается по присутствию в слагающих ее породах по всему разрезу остатков раковин *Inoceramus ex gr. schmidii* Mich. и *Patella (Helcion) gigantea* Schmidt. По мнению О. П. Дундо, определявшего фауну, названные формы на Сахалине и в Японии характерны для отложений, сопоставляемых с кампанийским ярусом единой шкалы.

Таким образом, можно весьма условно предполагать, что первые две толщи и нижняя часть третьей толщи ватынской серии формировались в сантонское время, а остальная ее часть — в кампанское время.

Аянкинская свита ( $Cg_2 ap$ ). Отложения этой свиты, развиты в бассейне р. Указлят. Они слагают мульды узких синклиналей. Почти повсеместно отложения свиты залегают без видимого несогласия на породах тавенской свиты, но с конгломератами в основании разреза. На юго-восточном склоне горы Ледяной, где отложения аянкинской свиты слагают небольшую мульду, наблюдалось фациальное замещение их породами ватынской серии. Свита перекрывается согласно осадками энычайвеемской свиты.

Аянкинская свита (рис. 1) сложена терригеническими и вулканомиктовыми песчаниками и алевролитами с редкими конкрециями известняков, конгломератами с прослоями глинистых сланцев, пепловых туфов и кремнистых пород, линзами гравелитов и аргиллитов.

Наиболее полные разрезы отложений свиты наблюдались по правым нижним притокам р. Указлят. В основании свиты залегают конгломераты, которые встречены по всей границе восточного поля развития аянкинской свиты. По остальной границе свиты они обладают явно выраженным линь-постепенный переход верхних горизонтов тавенской свиты в конгломератовый горизонт аянкинской свиты. Поскольку конгломератовый горизонт является маркирующим, ниже приводится его описание в наиболее полно установленном разрезе. На плотных полимиктовых мелкозернистых песчаниках тавенской свиты залегают (снизу вверх):

1. Конгломераты	30 м
2. Черные рассланцованные алевролиты	10—20 "
3. Массивные конгломераты	7—50 "
4. Грубозернистые полимиктовые песчаники, сменяющиеся по простиранию гравелитами с линзами мелкогалечных конгломератов	
5. Черные окремненные алевролиты с редкой крупной галькой	3—5 "
6. Массивные конгломераты, перемежающиеся с линзами плотных рассланцованных алевролитов	до 25 "
7. Плотные алевролиты с линзами аргиллитов и редкой галькой полимиктового состава	3—25 "
8. Массивные конгломераты	2—10 "
9. Тонкослоистые мелко- и среднезернистые полимиктовые песчаники с линзами мелкогалечных конгломератов	3—15 "
10. Грубозернистые массивные полимиктовые песчаники с редкими линзами мелкогалечных конгломератов	4—7 "
11. Черные рассланцованные слабоокремненные алевролиты с редкой галькой песчаников	0—5 "
12. Массивные конгломераты	1—20 "
13. Грубозернистые плотные полимиктовые песчаники	2 "
14. Массивные конгломераты	5 "
15. Крупнозернистые плотные гравелиты	2—8 "
	3 "

Для приведенного разреза характерна перемежаемость линзовидных слоев. Общая мощность его составляет в данном разрезе 100—230 м. Мощность конгломератов заметно уменьшается к западу и к югу; к северу от горы Ледяной конгломераты выклиниваются. Гальки конгломератов во всех слоях сложены яшмами, микрокварцитами, базальтовыми и андезитовыми порфиритами, диабазами, спилитами, альбитофираами, кислыми эффузивами, гранитами, песчаниками, алевролитами, слюдистыми и глинистыми сланцами,

эпидозитами, массивными известняками, пепловыми туфами. В кремнистой гальке иногда присутствуют остатки радиолярий, а в гравелитовых прослоях обломки призматического слоя иноцерамов (?). Цемент конгломератов — песчаниковый.

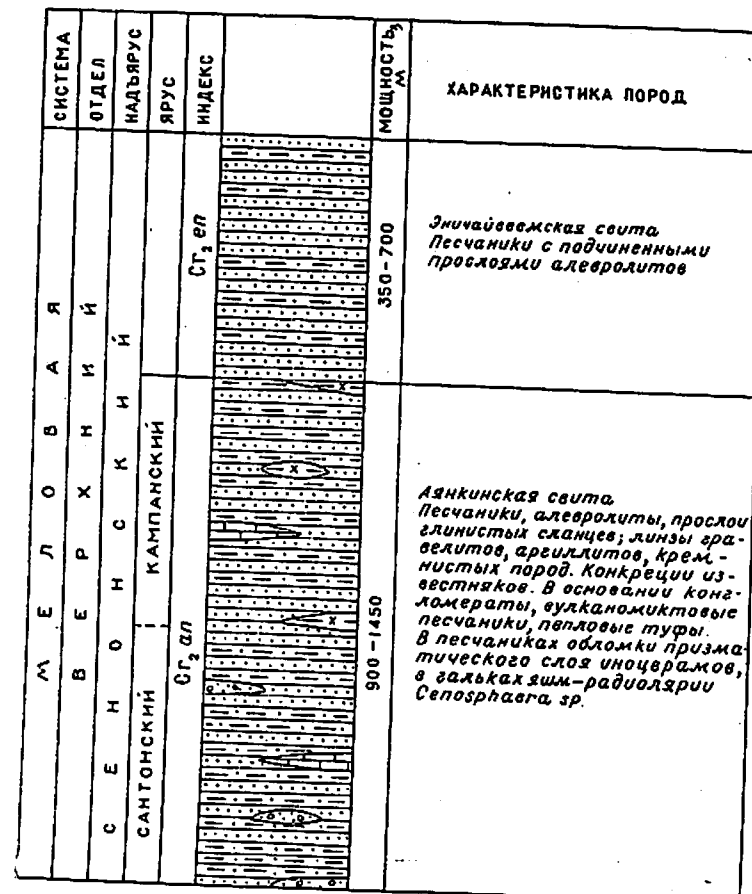


Рис. 1. Стратиграфическая колонка аянкинской и эничайвеемской свит. М-6 1:50 000

Выше конгломератовой толщи наблюдается следующая последовательность в отложениях:

- 16. Грубозернистые темно-серые песчаники с маломощными линзами алевролитов 15—50 „
- 17. Тонко переслаивающиеся черные рассланцованные алевролиты с мелкозернистыми песчаниками и редкими линзами гравелитов 150—200 „
- 18. Тонкоплитчатые среднезернистые темно-серые песчаники, содержащие местами слои глинистых сланцев 0—150 м

18

19. Черные рассланцованные алевролиты с редкими слоями тонкозернистых песчаников и спорадическими конкрециями (до 0,2 м) известняков

20. Плотные массивные темно-серые разнозернистые песчаники с подчиненными слоями (0,5—1,5 м) черных тонкозернистых сланцев. Присутствует редкая галька песчаников и алевролитов

21. Равномерно переслаивающиеся массивные мелко- и среднезернистые песчаники, содержащие конкреции известняков, с тонкослонистыми черными алевролитами и глинистыми сланцами. Песчаники местами окремнены

22. Черные рассланцованные алевролиты с подчиненными слоями темно-серых мелкозернистых песчаников

23. Зеленовато-серые кремнистые породы  
Мощность аянкинской свиты в приведенном разрезе непостоянна и колеблется от 900 до 1450 м.

Ввиду сильной фаунистической изменчивости разреза свиты для его характеристики в центральной части района ниже приводится второй разрез отложений аянкинской свиты, установленный в 12 км восточнее выс. 1582 хр. Укэляят. Здесь на алевролитах с тонкими прослоями песчаников, относимых к верхам тавенской свиты, согласно залегают:

1. Горизонт когломератов, представленный линзовидно переслаивающимися конгломератами, гравелитами, крупнозернистыми песчаниками

2. Алевролиты с подчиненными по мощности слоями мелкозернистых песчаников и пакетами (5—10 м) среднезернистых песчаников и алевролитов (каждый по 0,2—0,3 м)

3. Пачка переслаивающихся средне- и крупнозернистых песчаников (1,5—2 м) и алевролитов (0,1—0,3 м)

4. Черные рассланцованные алевролиты

5. Переслаивающиеся среднезернистые песчаники (0,1—0,5 м) и алевролиты (0,05—0,2 м)

6. Алевролиты с редкими маломощными пластами среднезернистых песчаников

7. Переслаивающиеся среднезернистые песчаники (0,8—2 м) и алевролиты (0,05—0,2 м)

8. Алевролиты с маломощными слоями мелкозернистых песчаников

9. Переслаивающиеся алевролиты (0,2—1 м) и среднезернистые песчаники (0,2—0,5 м)

10. Пачка равномерно чередующихся песчаников и алевролитов (по 0,3—0,4 м)

Мощность отложений по разрезу 1100—1210 м.

Сходные, но менее полные разрезы свиты наблюдались по всем правым притокам р. Укэляят. Однако вдоль северной границы свиты конгломератовый горизонт ее основания почти отсутствует, сохранившись в виде редких маломощных невыдержаных линз гравелитов. Здесь развита турбогенная пачка, представленная вулканомиктовыми песчаниками, переслаивающимися с пестроокрашенными окремненными алевролитами и пепловыми туфами в слоях, мощностью 0,1—5 м. В основании пачки встречаются линзы вулканомиктовых гравелитистых песчаников мощностью до 1 м. Мощность всей пачки порядка 300 м. Особенностью этой пачки является ее выдержанность по всей северной границе свиты и полное отсутствие по южной границе.

В 2 км севернее выс. 1625 хр. Укэляят песчаники содержат остатки обуглившейся растительной ткани.

На левобережье р. Укэляят у восточной границы района песчаники содержат, по заключению А. А. Герке, остатки фораминифер из рода *Naplophragmoides* sp., обломки песчаных фораминифер (ближе неопределенных) и

120—150 „

145—200 „

170—230 „

около 200 „  
0—40 „

30—60 м

около 300 м

200—280 „  
40 „

30 „

50 „

20 „

150 „

160 „

120 „

Из галек яшм в конгломератах Р. Х. Липман были определены остатки радиолярий из рода *Cenospheara* sp.

Органических остатков, определяющих возраст свиты, не установлено. Этот комплекс отложений является, по-видимому, возрастным аналогом ватынской серии, что подтверждается одинаковым стратиграфическим положением сравниваемых подразделений, согласно залегающим на одних и тех же горизонтах тавенской свиты, а также их взаимным фациальным замещением, наблюдавшимся в районе горы Ледяной. Однако следует указать на некоторую условность возраста отложений, отнесенных к аянкинской свите.

#### Верхняя часть сенонского надъяруса

Эничайвеемская свита ( $Gr_2 ep$ ). Отложения, отнесенные к данной свите, развиты по правобережью р. Укэлят. Они слагают мульды небольших синклиналей, залегая согласно на породах аянкинской свиты. Взаимоотношения с вышележащими дочетвертичными породами не установлены ввиду отсутствия последних на севере района.

Эничайвеемская свита сложена преимущественно песчаниками с подчиненными прослоями алевролитов.

Наиболее полный разрез свиты наблюдался в северо-западной части района по левобережью р. Укэлят Правая, где на алевролитах аянкинской свиты залегают (снизу вверх):

1. Пачка серых плотных мелкозернистых полимиктовых песчаников с прослоями черных алевролитов. Мощность слоев песчаников 3—10 м, алевролитов — 0,5—1 м	115 м
2. Массивные серые среднезернистые песчаники с желтоватой коркой выветривания	25 „
3. Черные тонкослоистые алевролиты	15 „
4. Массивные мелкозернистые серые песчаники с желтоватой коркой выветривания	12—15 „
5. Черные рассланцованые алевролиты	25—30 „
6. Серые разнозернистые полимиктовые песчаники с зеленоватой коркой выветривания, содержащие редкие пласти (1—5 м) черных рассланцованых алевролитов	100—150 „
7. Массивные серые среднезернистые полимиктовые песчаники с желтовато-серой коркой выветривания	около 250 „
8. Черные рассланцованые алевролиты с подчиненными (0,1—5 м) слоями плотных массивных среднезернистых песчаников. Видимая мощность	около 100 „
Мощность отложений свиты в данном разрезе	642—700 м.

На правобережье среднего течения р. Укэлят, где мощность свиты сокращается до 350 м, обнаружены органические остатки, плохой сохранности (из группы ежей), условно верхнемелового возраста. Возраст отложений устанавливается на основании их стратиграфического положения в разрезе.

#### МААСТИХТСКИЙ И ДАТСКИЙ(?) ЯРУСЫ

Ачайвайямская свита ( $Gr_2 ac$ ). Отложения этой свиты развиты к юго-западу от подножия хр. Ватына, где они образуют небольшие разрозненные выходы, а также в бассейне р. Поклявяям и неширокой полосой по правобережью р. Ачайвайям. Взаимоотношения свиты с подстилающими породами ватынской серии не установлены, так как контакт осложнен разрывными нарушениями и скрыт рыхлыми наносами. В 40 км южнее рассматриваемой территории в районе оз. Анана работами 1964 г. (А. В. Дитмар, М. М. Поляков, А. С. Финогентов) установлен согласный постепенный переход от ватынской серии к ачайвайямской свите.

Ачайвайямская свита представлена преимущественно лавами и туфоловами основного, среднего и близкого к кислому составов. Меньше развиты

туфы этих эфузивов. В подчиненном количестве содержатся прослои вулканомиктовых гравелитов, песчаников, алевролитов.

Разрез, составленный по обнажениям на участке южнее оз. Гыттын, следующий (снизу вверх):

1. Пачка темно-зеленых и буровато-серых разнозернистых (от гравийных до алевритовых) вулканомиктовых песчаников с редкими слоями туфов базальтов. В грубозернистых разностях содержатся, по определению Н. С. Воронец и О. П. Дундо, обломки раковин <i>Ostrea</i> , ближе неопределимых, а также <i>Inoceramus ex gr. ballicus</i> Boehm, <i>Chlamys ex gr.</i> , <i>C. (Aequipecten) aniventustus</i> Glasius.	около 100 м
2. Серые миндалекаменные шаровые андезито-базальты	15 „
3. Темно-зеленые граувакковые псевофоссилитовые туфолавы	около 50 „
4. Серые андезито-базальтовые порфиры	около 60 „
5. Темно-зеленые псевофитовые туфолавы с обильными обломками моноклинного пироксена	около 80 „
6. Пачка чередующихся (по 5—10 м) туфолов андезито-базальтов и андезитоидных дацитов и покровов андезито-базальтов	около 150 „
7. Крупнообломочные псевофитовые туфолавы, обладающие грубой слоистостью	Мощность отложений в данном разрезе 470 м.
В верховьях р. Поклявяям разрез свиты следующий (снизу вверх):	
1. Светлые синевато-серые крупнопорфировые андезиты. Видимая мощность	30 м
2. Буровато-зеленые крупнообломочные туфолавы. В них присутствуют слои вулканомиктовых гравелитов (до 10 м) с обломками раковин <i>Ostrea</i> и единичные покровы базальтов. Для туфолов характерна отчетливая слоистость, обусловленная чередованием пластов, в разной степени насыщенных округлыми обломками лав (вулканические бомбы), размер которых колеблется от 0,5 см до 3 м в поперечнике. В туфоловах развиты жеоды до 15 см длины, выполненные цеолитами	более 200 „
3. Далее следует перерыв в обнажениях, а затем появляются буро-коричневые среднебломочные псевофитовые туфолавы	около 50 „
4. Вновь с небольшим перерывом в обнажениях, но несомненно стратиграфически выше залегают серые полимиктовые грубозернистые и гравийные песчаники с многочисленными органическими остатками, среди которых Н. С. Воронец определены: <i>Inoceramus</i> sp., <i>Liosstrea cf. dehmanni</i> Rom., <i>Seratostreon ex gr. spinosum</i> Math., <i>Ostrea</i> sp., <i>Lima</i> sp., <i>Modiolus</i> sp., <i>Perna</i> sp., <i>Desmieria divaricata</i> Orb., <i>Helcion</i> sp., <i>Terebratulina</i> sp., неопределенные брахиоподы и аммониты. Видимая мощность пачки	более 30 м

Выше появляются образования апукской свиты. Взаимоотношения между ними не наблюдались. В делювии по склону на высоте до 500 м присутствуют породы ачайвайямской свиты. Мощность свиты в данном разрезе достигает, вероятно, 400—800 м.

Аналогичные, но менее полные разрезы свиты наблюдались в районе горы Плоской.

Ввиду затруднительной корреляции выходов свиты из-за плохой обнаженности и резкой фациальной их изменчивости определение мощности всей свиты не точно. Мощность ачайвайямской свиты в целом может быть оценена в 1000 м.

Ачайвайямская свита, на основании заключенных в ее породах органических остатков, отнесена к маастрихтскому ярусу (Дитмар, Агеев, Воронец, 1964). Но не исключается выделение из ее состава более молодых отложений датского яруса (?).

### ПАЛЕОГЕНОВАЯ — НЕОГЕНОВАЯ СИСТЕМЫ

#### Верхний олигоцен — нижний миоцен

Ильпинская свита ( $Pg_3-N_1, II$ ). Отложения ильпинской свиты развиты в верховьях р. Кай-Теклаваям, на юго-западе района. Взаимоотношения с подстилающими образованиями не установлены. Они перекрыты с угловым несогласием породами корфовской свиты.

В пределах данной территории выходы свиты представлены разрозненными обнажениями пологозалегающих туфопесчаников и глинистых сланцев. Породы слабо диагенезированы, слойстые, светлые, со склерулоплатой отдельностью. Содержат неопределенную микрофауну. Общая площадь выходов отложений ильпинской свиты не превышает 20 км<sup>2</sup>. Видимая мощность около 100 м.

Отложения ильпинской свиты выделены условно по их литологическому сходству с отложениями стратотипа и датируются по аналогии с последними — верхним олигоценом — нижним миоценом.

#### Верхний миоцен — плиоцен

Корфовская свита ( $N_{kr}$ ). Свита состоит из двух толщ. Нижняя — терригенная — толща обнажается в двух небольших обособленных выходах на левобережье р. Умайолгиваям, где представлена конгломератами. Верхняя — вулканогенная — обнажается широкой полосой от верховьев р. Ачайвайам вдоль ее левобережья. Здесь в строении толщи принимают участие различные по составу туфы базальтов, андезитов и в подчинении количество лавы липаритов, андезитов и базальтов. Корфовская свита залегает с угловым несогласием на более древних образованиях района.

Разрез нижней (терригенної) толщи свиты наблюдался к юго-западу от оз. Гытын, где в ряде обособленных выходов обнажаются хорошо слойстые слабо диагенезированные пологозалегающие конгломераты с прослоями песчаников. Гальки конгломератов состоят преимущественно из эфузивов ачайвайямской свиты с незначительным количеством кремнистых пород, по-видимому, ватынской серии, гранитоидов и габбро. Конгломераты отчетливо слоисты. Они содержат линзовидные пласты песчаников и алевролитов мощностью 0,02—0,7 м, заключающих отпечатки листовой флоры и обломки углекислой и окаменелой древесины. Последние встречаются и в конгломератах. Цемент конгломератов представлен полимиктовыми песчаниками, схожими с вышеуказанными песчаниками. В отличие от кластических пород более древнего возраста в этих породах высокое содержание обломков свежего вулканического стекла, хлориты и незначительно содержание обломков основных эфузивов. Мощность терригенной толщи не менее 60 м. Возраст ее принимается плиоценовым (?) по наличию в ней остатков древесины, по-видимому, рода *Picea* (опред. И. А. Шилкиной) и листовой флоры типа *Betula* или *Alnus*, а также отпечатков, сходных с листьями *Dryas*, при полном отсутствии раннепретичных хвойных (опред. Т. Н. Байковской).

Разрезы верхней (вулканогенной) толщи корфовской свиты на рассматриваемой территории невыдержаны по простиранию как по составу, так и по мощности. Наиболее полный ее разрез наблюдался в истоках р. Ачайвайам на западном склоне выс. 2120, где залегают (снизу вверх):

- |   |       |
|---|-------|
| 1. Темные буровато-зеленые плотные андезиты. Видимая мощность | 200 м |
| 2. Темные зелено-серые автометаморфизованные андезиты         | 90 "  |
| 3. Серые альбитизированные андезиты                           | 30 "  |

4. Светло-серые псаммитовые литокластические туфы андезитов	70 "
5. Зеленовато-серые андезиты	40 "
6. Темные зелено-серые ожелезненные пропилитизированные андезиты	
7. Стально-серые хлоритизированные андезиты	60 "
8. Темные зелено-серые окремненные пепловые туфы	100 "
9. Светлые беловато-серые сильно ожелезненные андезиты	20 "
10. Светлые зеленоватые андезиты	100 "
11. Темные зелено-серые андезито-базальты	20 "
12. Светлые зеленоватые крупнопористые андезиты	40 "
13. Зеленовато-серые андезито-базальты	15 "
14. Серовато-белые липариты	20 "
15. Серые хлоритизированные андезиты	50 "
16. Светлые зеленоватые псаммитовые литокристаллокластические туфы	
17. Темно-серые пироксеновые андезито-базальты	30 "
18. Серые ожелезненные липариты	30 "
19. Светло-серые липариты	50 "
20. Белые флюидальные липариты	30 "
	60 "

Мощность свиты в приведенном разрезе 1100 м.

К югу в свите уменьшается количество кислых лав и начинают преобладать лавы основного состава. В истоках р. Маневаям разрез свиты следующий (снизу вверх):

1. Темно-серые базальты	10 м
2. Темно-серые агломератовые туфы базальтов с пепловым цементом	
3. Серые ноздреватые гиалобазальты	50 "
4. Темно-серые плотные базальты	7 "
5. Темно-серые агломератовые туфы базальтов с пепловым цементом. С интервалами 20—40 м в них присутствуют линзовидные покровы (0,5—5 м) миндалекаменных гиалобазальтов	10—20 "
6. Светлые желтовато-серые пятнистые туфы базальтов с пепловым цементом	250 "
7. Кирличично-красные агломератовые литокластические туфы базальтов	около 80 "
8. Темно-серые пористые миндалекаменные базальты	20 "

Общая мощность 460—470 м.  
Аналогичные, но менее полные разрезы наблюдались по правым притокам р. Ачайвайам.

Общая мощность вулканогенных образований корфовской свиты 460—1100 м.

В пределах исследованной территории в вулканогенных породах свиты органических остатков не найдено. Позднемиоценовый — плиоценовый возраст ее принимается по аналогии с соседним к западу районом листа Р-59-XXI (Закржевский, 1963), где эти образования развиты широко и содержат палеогеновые и неогеновые диатомовые водоросли и неогеновый — нижнечетвертичный спорово-пыльцевой комплекс.

### ЧЕТВЕРТИЧНЫЕ ОТЛОЖЕНИЯ

#### Нижнечетвертичные отложения

Алукская свита ( $Q_1 ap$ ). Образования этой свиты слагают разрозненные останцы лавовых плато на водоразделах в районе горы Ледяной, по правобережью р. Ачайвайам и на отдельных вершинах по левобережью р. Ачайвайам. Породы свиты залегают полого с наклоном до 2—5°, реже до 10—15°. В ее строении принимают участие преимущественно покровы андезитов и базальтов, кислые лавы отсутствуют.

В исследованном районе породы апукской свиты лежат без видимого углового несогласия на породах корфовской свиты. Однако в пределах соседнего к западу листа Р-59-ХХI (Закржевский, 1963) отмечается их несогласное залегание на всех более древних породах. Пересякаются лавы апукской свиты современными ледниками отложениями.

Наиболее полный разрез свиты наблюдался в истоках р. Ачайваем на выс. 2120, где на вулканогенных породах корфовской свиты залегают (снизу вверх):

1. Серые андезиты . . . . .	80 м
2. Светло-серые андезиты . . . . .	40 "
3. Зеленовато-серые андезиты . . . . .	50 "
4. Темные зелено-серые андезиты с бурой коркой выветривания. Видимая мощность . . . . .	200 "

Здесь мощность свиты равна 370 м.

По направлению к югу в составе свиты начинают преобладать основные породы. В 4 км южнее оз. Эпильчик свита сложена плотными мелкокристаллическими оливиновыми гиалобазальтами с линзами ноздреватых гиалобазальтов мощностью до 2 м и псефитовых слоистых туфов оливиновых гиалобазальтов. Мощность свиты не превосходит 100 м.

Аналогичные, но менее полные разрезы свиты наблюдались по правым притокам р. Ачайваем в районе горы Ледяной.

Общая мощность апукской свиты около 400 м.

Раннечетвертичное время формирования апукской свиты определяется ее геологическим положением; так как она залегает выше корфовской свиты, относится к верхнему миоцену — плиоцену и перекрывается верхнечетвертичными ледниками и водноледниковыми отложениями. Не исключена возможность выделения из их состава среднечетвертичных отложений.

Согласно предварительным данным исследований, проводившихся С. И. Андреевым и В. В. Брагиным в 1963—1964 гг. в междууречье Апукваем и Ачайваем, устанавливается наличие двух различных толщ эффузивов (вулканогенная толща корфовской свиты и апукская свита). Возраст нижней толщи по палеомагнитным данным устанавливается плиоценовым, а верхней — раннечетвертичным.

Работами Ю. П. Дегтяренко в 1963 г. в бассейне р. Апукваем было подтверждено выделение среди молодых вулканогенных образований двух толщ, верхняя из которых охарактеризована спорово-пыльцевым комплексом четвертичного возраста и залегает на конгломератах, содержащих плиоценовый спорово-пыльцевой спектр. Нижняя толща слагает основание вулканических построек, верхняя — разрушенные вершины и вулканические плато.

### Верхнечетвертичные отложения

Верхнечетвертичные отложения ( $Q^2_{III}$ ) представлены ледниками, водноледниковыми и озерно-ледниковыми образованиями, накопление которых связано с долинным — «корякским», по Ю. П. Дегтяренко (1962), оледенением. Ледниковые отложения слагают морены в долинах рек Ачайваем. Укэляйт, Матыскен и Ватыны. Водноледниковые образования развиты в виде полос, пересекающих морены, следуя очертаниям водноледниковых ложбин и их конусов выноса. Озерно-ледниковые осадки установлены в одном месте по р. Кай-Ачайваем на площади менее 10 км<sup>2</sup> (на карте не выделены из состава водноледниковых отложений).

Ледниковые отложения представлены уплотненными валунными суглинками и супесью. Размер валунов в среднем 20—40 см в поперечнике, реже до 1 м. Их состав свидетельствует о местном сносе материала. Мощность отложений в долинах рек Укэляйт, Матыскен, Тэклаваем — 8—12 м, западнее оз. Эпильчик — около 25 м.

Водноледниковые отложения состоят из среднеокатанных галечников с линзами супеси и песка. Максимальная их мощность (15—17 м) зафиксирована в долине р. Укэляйт. Осадки содержат споры (90—95%) и пыльцу

(определения Л. М. Сумароковой), среди которых преобладают: *Sphagnum*, *Polypodiaceae*, *Lycopodium clavatum*, *Lycopodium alpinum* и в единичном количестве встречаются: *Piceae*, *Pinus sylvestris*, *P. sibirica*, *Betula*, *Alnus*, *Salix*, *Ericaceae*, *Gramineae*, *Chenopodiaceae*, *Caryophyllaceae*, *Leguminosae*, *Compositae*, *Bryales*, *Equisetaceae*, *Selaginella*. Данные спорово-пыльцевого анализа позволяют предполагать, что отложения соответствуют по времени, вероятнее всего, позднечетвертичному оледенению.

В пределах Корякского нагорья раньше выделялись среднечетвертичные ледниковые отложения. Последующие работы показали невозможность выделения этих отложений, поскольку отсутствуют твердо установленные междуледниковые отложения начала позднечетвертичного времени. В связи с этим среднечетвертичные ледниковые отложения в настоящее время не могут быть выделены как самостоятельные и всеми геологами относятся к верхнечетвертичным образованиям, развитие которыхшло в несколько стадий.

Озерно-ледниковые тонкослоистые осадки ленточного типа представлены песками, алевритами и глинами (в слоях по 2—30 см) с линзами гравия и галечника в верхней части разреза. Они сформировались на последних этапах отступания верхнечетвертичного ледника на дне озер, возникших в полостях обособившейся глыбы «мертвого льда». Мощность их 8—10 м.

### Современные отложения

Современные отложения ( $Q_{IV}$ ) представлены пролювиальными, аллювиальными, ледниками и элювиально-делювиальными образованиями, а также современным льдом.

Пролювиальные отложения слагают конуса выноса «сухих дельт» крутых мелких водотоков по подножиям склонов. По нижнему правому притоку р. Ватыны наблюдался наиболее полный разрез этих отложений (снизу вверх):

1. Грубослонистые галечники с отдельными валунами до 20 см, сцементированными глинисто-песчаным материалом . . . . .	2 м
2. Пески с гравием и мелкой галькой . . . . .	0,05—0,2 "
3. Слабо сортированный щебень и угловатые валуны, сцепментированные глинисто-песчаным материалом с примесью дресвы, содержащие плохо заметные линзы (мощность до 5 см) грубозернистых песков . . . . .	5 "

Общая мощность в разрезе 7,2 м.

Эти отложения перемежаются с делювиальными осыпями склонов. По левому нижнему притоку р. Ватыны пролювиальные косослонистые галечники с линзами песка слагают конусы выноса мощностью 10—30 м.

Аллювиальные отложения развиты в долинах крупных рек и представлены песчано-галечным материалом с валунами. Ими слагаются поймы и надпойменные террасы. Они перекрывают верхнечетвертичные ледниковые и водноледниковые образования. Насчитывается пять основных наиболее выдержанных террасовых уровней (1, 2, 3—5, 8—10, 14—17 м). Аллювий кадд 2—5 м. Наибольшей мощности (30 м) достигает аллювий верхней террасы в нижнем течении р. Ватыны. Нижние (пойменные) террасы развиты повсеместно по рекам и ручьям, за исключением крутых порожистых водотоков, не имеющих поймы. Аллювий пойм в отличие от надпойменного сложен более крупным песчано-галечным материалом и представляет собой часто переслаивающиеся гальку, гравийные пески и суглинки. Иногда в них присутствуют валуны и плохоокатанные обломки. Максимальная мощность аллювиальных отложений пойм равна — 1—2 м.

Аллювий нижнего левого притока р. Ватыны содержит спорово-пыльцевой комплекс (опред. Е. А. Беспало): *Pinus sylvestris* 15%, *Pinus* п/р *Haploxyylon* 30%, *Alnus* 10%, *Betula* 5%, *Alnus* (кустарниковая) 25%, *Salix* 5%, *Ericaceae* 8%, *Artemisia* 2%. Наибольшее количество пыльцы содержит отложения нижних надпойменных террас, что свидетельствует, возможно,

о их формировании в климатической обстановке, сходной с современной. В период формирования остальных террас климат, по-видимому, отличался суровостью.

Современные ледники развиты в наиболее высокогорных (выше 1000 м) областях района, заполняя кары водораздельных частей хр. Укзаят и хр. Снегового. Ледники образованы глетчерным плотным льдом, внутри чистым и прозрачным с голубоватым оттенком. В нем содержатся прослои мощностью 5—30 см, серого загрязненного льда. С поверхности лед покрыт уплотненным снегом с дресвой. Мощность льда в центральной части ледника колеблется от 40 до 100 м, убывает к краям до 7 м.

Современные ледниковые отложения развиты преимущественно у окончаний и по бокам современных ледников и являются основными и боковыми их моренами. Ледник Снеговой, один из наиболее крупных в районе, имеет четко различимый вал конечной морены, отстоящий от края ледника на расстоянии 1 км. Морена в левом истоке р. Ачайвама имеет длину 2,5 км. Морены представляют собой хаотическое нагромождение щебнисто-глыбового (до 2,5 м) материала с примесью мелкого песка и глины до 30—40%. Обломки местных пород имеют очертания от резко угловатых до хорошо окатанных. Мощность современных ледниковых отложений определяется в 50—100 м.

Постепенное убывание мощности ледников к их окончаниям, отсутствие конечноморенных валов и существование только основных морен свидетельствуют о деградации современных ледников. Вероятно, их следует считать реликтами оледенения, максимум которого относится, по-видимому, к раннему этапу современной (голоценовой) эпохи.

Элювиально-делювиальные образования распространены повсеместно на водоразделах и склонах гор, покрывая их широкими шлейфами. Делювиальные образования наиболее развиты у подножий склонов в совокупности с проливием. Эти образования представлены дресвой, щебнем и глыбами местных пород до 5—8 м в поперечнике. Максимальная мощность их в лавинно-обвалочных скоплениях 10—30 м.

Элювий в исследованном районе распространен незначительно на сглаженных водораздельных гребнях. Мощность его редко достигает 1 м.

## ИНТРУЗИВНЫЕ ОБРАЗОВАНИЯ

В пределах рассматриваемой области магматическая деятельность проявлялась активно. Начиная с сантон-кампанского времени и до раннечетвертичной эпохи неоднократно происходили вулканические извержения, в результате которых образовались мощные вулканогенные толщи ватынской серии, ачайвамской, корфовской и апукской свит. В некоторые периоды вулканическая деятельность сопровождалась формированием интрузивных и субвулканических тел, которые объединены в три возрастных комплекса: 1) позднемеловой ватынский интрузивный комплекс, 2) плиоценовый комплекс субвулканических тел и 3) раннечетвертичный дайковый комплекс.

### ПОЗДНЕМЕЛОВОЙ ВАТЫНСКИЙ ИНТРУЗИВНЫЙ КОМПЛЕКС

Породы этого комплекса широко развиты в междуречье Ватыны и Ачайвам в верховьях р. Укзаят. Они слагают интрузии и дайки, субпараллельные простиранию верхнемеловых структур и представлены гранодиоритами, липаритами, гранит-порфирами и гранодиорит-порфирами, диоритами, габбро, габбро-диабазами, диабазами, гипербазитами, диорит-порфиритами и долеритами.

Гранодиориты ( $\text{уд} \text{Cr}_2$ ) слагают небольшие штоки. Один из них обнажается из-под ледника в истоках р. Укзаят Правая (площадь 0,5 км<sup>2</sup>), а второй расположен в нижнем течении р. Ватаярчавам (площадь 0,8 км<sup>2</sup>). Интрузии приурочены к зонам разрывных нарушений северо-восточного (северная интрузия) и северо-западного (южная интрузия) направлений среди пород ватынской серии. Контакты не вскрыты. Породы серые

массивные среднезернистые гипидиоморфнозернистые структуры. Их состав: андезин (40—45%), калиевый полевой шпат (15—20%), кварц (25—30%), мусковит (10%), амфибол (0—5%), биотит (0—3%), рудный минерал (до 3%). Породы мало изменены, по трещинам развиты: кварц, карбонат, хлорит, изредка альбит.

Липариты ( $\text{L} \text{Cr}_2$ ) образуют дайки. Две из них зафиксированы к югу от г. Ледяной, длиной 300 м при мощности около 20 м. Приурочены они к разлому широтного простирания, который рассекает ватынскую серию. Породы светло-серые массивные с порфировой структурой и фельзитовой основной массой, в которой отдельные участки имеют микролегматитовое строение. В порфировых выделениях (5—10%, размерами 0,3—2,0 мм) присутствуют плагиоклаз (№ 15—25), кварц и биотит. Основная масса липаритов состоит из кварца, альбита, калиевого полевого шпата, иногда микролегматитовыхростков. Встречаются участки свежего чистого буроватого стекла с показателем преломления ниже канадского бальзама. Вторичные изменения липаритов заключаются в сернистизации плагиоклаза вкраплений и замещении биотита мусковитом и магнетитом.

Гранит-порфирь ( $\text{УЛ} \text{Cr}_2$ ) слагают дайки, из которых пять расположены в истоках р. Укзаят Правая среди пород аянской толщи и четыре в верховьях р. Ачайвам на границе ватынской серии и корфовской свиты. Длина даек в укзаятской группе колеблется от 30—50 до 400 м при мощности от 2 до 20 м, а в ачайвамской длине от 600 до 2 км при мощности 100—300 м. Простирание даек укзаятской группы северо-восточное; дайки ачайвамской группы приурочены к разрывным нарушениям субширотного и субмеридионального направлений. Контакты ровные, у двух из них — текстонические. Дайки секущие с углом падения от 70 до 90°. Породы массивные светло-серые с порфировой и порфировидной структурами с микрогранитовой и микророганулитовой основной массой. В порфировых вкраплениниках (5—45%) присутствуют плагиоклаз (№ 17), кварц, иногда биотит или мусковит (0—5%), гранат (1—7%). Размеры вкраплениников изменяются от 0,1—0,5 до 2,4 мм. Плагиоклаз вкраплениников (№ 20) иногда слабо зонален, интенсивно сернистизирован и карбонатизирован — до полных псевдоморф. Кварц оплавлен, в ряде случаев содержит включения основной массы. Биотит нередко окружен опацитовой каемкой, часто полностью хлоритизирован. Гранат образует округлые зерна диаметром до 7 мм. Основная масса (55—95%) содержит приблизительно в равных количествах плагиоклаз, калиевый полевой шпат и кварц, серицит (7—10%), гранат (1—2%), акцессорные: сфеин, циркон, апатит, рутил. Контактовые изменения выражены в появлении в зоне эндоконтакта вторичных минералов: хлорита, серицита, карбоната. В экзоконтакте среди песчаников и алевролитов обычно наблюдаются редкие вкраплениники сульфидов (пириита и пирротина). Мощность измененных зон измеряется единицами метров. Наибольшие изменения наблюдались у двух южных даек в истоках р. Укзаят Правая. Здесь в зоне шириной более 0,5 км песчаники и алевролиты ороговикованы и превращены в метаморфическую кварц-карбонатно-турмалиновую породу с сидеритом (кварц 20%, карбонат 35%, турмалин 35%, сидерит 10%, акцессорные минералы — сфеин, апатит). Постмагматическая гидротермальная деятельность, связанная с дайками гранит-порфиров, проявилась в образовании редких кварц-пренитовых прожилков мощностью до 0,5 см и длиной до 10 см. Зоны прожилковой минерализации измеряются несколькими квадратными метрами.

Гранодиорит-порфирь ( $\text{УД} \text{Cr}_2$ ) образуют северную группу даек на правобережье р. Укзаят Правая, имеющих восточно-северо-восточное простирание и южную группу даек субмеридионального простирания к западу от оз. Эпильчик. Одна дайка зафиксирована у оз. Гытгын. Все они ориентированы согласно складчатым структурам и приурочены к зонам разрывных нарушений. Дайки правобережья р. Укзаят Правая расположены небольшими группами — по 2—4 на расстоянии 200—300 м друг от друга, реже одиночно. Длина их колеблется от 30 до 400 м, а мощность от 5 до 20 м. Дайки южной группы характеризуются большой протяженностью — от 2 до 5 км при мощности 70—300 м. Контакты даек четкие, се-

кущие и прямолинейные. Породы массивные зеленовато-серые с гипидиоморфной среднезернистой структурой, местами порфировой и гломеропорфировой с микрофельзитовой или микрогранитовой основной массой. Состав пород: андезин (40–45%), калиевый полевой шпат (10–20%), кварц (25–30%), мусковит (10%), амфибол (0–5%), биотит (0–3%), графит (2–3%). магнетит (до 3%), акцессорные — циркон, апатит. Во вкраплениниках порфировых разностей присутствуют: плагиоклаз, олигоклаз, кварц, слюда, амфибол. Плагиоклаз нередко альбитизирован; амфибол замещается карбонатом, биотитом, хлоритом; биотит хлоритизирован. Калиевый полевой шпат интенсивно каолинизирован. В центральных частях даек южной группы иногда наблюдается обогащение плагиоклазом (до 65%) с превращением пород в мусковитовые плагиограниты. Породы слабо изменены. Контактные изменения такие же, как и в гранит-порфирах. Пересчет результатов силикатного анализа (по методу А. Н. Заварницкого) одного образца гранодиорит-порфира из правобережья р. Укэляята (Дитмар, 1960) показал повышенное содержание цветных компонентов относительно среднего типа по Р. Дэли с преобладанием железа над магнием и пересыщенность глиномоземом, поскольку значительная его часть входит в состав фемических минералов (табл. 2).

Диориты ( $\delta$  Cr<sub>2</sub>) слагают небольшой шток (300×500 м<sup>2</sup>) на северо-восточном склоне горы Черной. Интрузия расположена невдалеке от зоны крупного разрывного нарушения северо-западного направления. Непосредственные контакты интрузии скрыты осыпями. Породы массивные зелено-серые с гипидиоморфнозернистой структурой. Их состав: плагиоклаз № 40–45 (30–40%), кварц (5%), амфибол (10–20%), биотит (5–10%) магнетит (2–5%); вторичные — хлорит (0–10%), эпидот (0–10%). Плагиоклаз серцитизирован, иногда альбитизирован. Цветные минералы замещены хлоритом, эпидотом.

Диорит-порфириты ( $\delta\mu$  Cr<sub>2</sub>) слагают дайки. Группа из 11 даек зафиксирована в междуречье Кай-Ачайвам и Ачайвам в поле развития гранодиорит-порфиров, тяготеющих к зоне разлома северо-восточного простирания, проходящей по левобережью р. Ачайвам. Длина даек колеблется от 50–70 м до 1,5 км, а мощность от 0,3 до 6–20 м, реже до 100 м. Контакты интрузий скрыты осыпями. Породы массивные зелено-серого цвета гипидиоморфнозернистой структуры, а участками — гломеропорфировой с микропойкилитовой основной массой. Состав пород: плагиоклаз № 40–50 (30–45%), кварц (5%), биотит (5–15%), обыкновенная роговая обманка (0–20%), магнетит (2–10%), акцессорные — апатит, вторичные — хлорит, эпидот, карбонат, гидроокислы железа. Интенсивно проявлены процессы автометаморфизма, выразившиеся в альбитизации, серцитизации, иногда хлоритизации плагиоклаза, а также в замещении хлоритом амфиболя и слюды. Породы рассечены жилками кварца, карбоната, изредка пегматита. В центральных частях даек породы имеют иногда более основной состав — до габбро-диоритов, отличающихся присутствием диопсид-авгита (до 30%) при уменьшении содержания биотита и амфиболя.

Габбро ( $v$  Cr<sub>2</sub>) образуют небольшие штоки и субсогласные интрузии, а также дайки. Три штока зафиксированы в бассейне верховьев р. Этельваем, один шток на левобережье среднего течения р. Этельваем и два штока — севернее оз. Эпильчик. Две субсогласные интрузии расположены на юго-западном склоне хр. Снегового: в среднем течении р. Этельваем и южнее горы Пик. Семь даек группируются в бассейне р. Ботанярчавам, где имеют северо-западное и субмеридиональное простижение, одна дайка северо-восточного простирания расположена в верховьях р. Ватыны. Площадь поверхности выходов штоков колеблется от 0,2 до 0,9 км<sup>2</sup>. Субсогласные интрузии имеют протяженность около 5 км при мощности от 200 до 600 м. Длина даек — от 50 до 300 м при мощности 3–20 м. Контакты ровные, для штоков и даек — крутые. Субсогласные интрузии падают: восточная (на р. Этельваем) под углом 60° на север, западная (южнее горы Пик) — под углом 45° на юго-запад. Контакты интрузий с вмещающими породами пологосекущие, иногда согласные. Штоки и субсогласные интрузии тяготеют к зонам разрыв-

ных нарушений субширотного направления, дайки приурочены к разломам северо-западного и реже субширотного простирания. Породы массивные темно-зеленые с мелкозернистой габбровой или гипидиоморфнозернистой структурой. Местами наблюдается пойкилоофитовая и порфировидная структура с призматическозернистой основной массой. Состав породы: лабрадор № 55–60 (35–50%), авгит (25–35%), магнетит и титаномагнетит (3–10%), акцессорный апатит, вторичные — хлорит (10–20%), эпидот (0–15%), пренит (0–10%), карбонат (5%), амфибол (0–5%), иддингит (0–5%). Плагиоклаз интенсивно альбитизирован, соссюритизирован, иногда замещен пренитом; моноклинный пироксен амфибилизирован, хлоритизирован. Центральная часть интрузии правобережья р. Этельваем сложена гигантозернистыми породами и местами содержит до 10% кварца (кварцевое габбро). В эндоконтакте развиты среднезернистые мезократовые разности, иногда наблюдается первичная полосчатость. Приконтактовые измерения в габбро незначительны и выражены на расстоянии 1,2 м от контакта соссюритизацией плагиоклаза и уралитизацией моноклинного пироксена, а ближе к контакту появлением мусковита, окруженного каймой хлорита и глиноподобного вещества, карбоната, амфибила и цеолита. Вмещающие андезиты у контакта в зоне мощностью 0,2 м превращены в бесструктурную массу сильно дробленых зерен моноклинного пироксена, роговой обманки и албита, среди которой выделяются скопления мусковита, карбоната и хлорита, а также кварц-карбонатные и хлоритовые прожилки. В дайках вблизи контактов наблюдается уменьшение зернистости пород. В кровле субсогласных интрузий мощность измененных приконтактовых зон достигает 150 м и сопровождается сульфидной минерализацией.

Габбро-диабазы ( $v\mu$  Cr<sub>2</sub>) слагают дайки. Зафиксировано 10 даек на юго-западном склоне хр. Ватына. Большинство из них имеет северо-западное простижение. Все они расположены вблизи разрывных нарушений. Протяженность даек 500–800 м, мощность колеблется от 8 до 40 м. Контакты скрыты осыпями. Породы массивные темные зеленовато-серые с разнозернистой офитовой, габбро-оффитовой иногда порфировидной структурами; в метаморфизованных разновидностях структура бластооффитовая. Состав породы: лабрадор (35–45%), титано-авгит (10–50%), титаномагнетит (5–8%), апатит (1–2%), кварц (0–1%), вторичный хлорит (10–35%). Плагиоклаз альбитизирован и соссюритизирован — преимущественно в центральных частях зерен; нередко в нем развиты явления протоклаза. Идиоморфизм пироксена и плагиоклаза большей частью равный. Пироксен замещается роговой обманкой, иногда актинолитом, но чаще превращен в хлорит или в смесь биотита и хлорита. В краевых частях даек породы иногда становятся более меланократовыми, причем пироксен полностью замещается роговой обманкой, а плагиоклаз соссюритизирован. Породы по составу приближаются к однинитам. Габбро-диабазы секутся мелкими (мощность 0,5–3 см) жилками кварца, эпидота, албита, иногда пренита.

Диабазы ( $\delta\mu$  Cr<sub>2</sub>) встречены в дайках. Они образуют две группы даек; северную — в верховьях р. Укэляята и южную — в истоках р. Ватыны. Также выявлено пять обособленных даек: на левобережье рек Укэляята и Матыскен, южнее оз. Эпильчик и в истоках р. Кай-Ачайвам. Все дайки имеют субширотное простижение. Тела южной группы приурочены к зоне разлома, по которой заложены истоки р. Ватыны и к более мелким разрывным нарушениям субширотного простирания. Пространственная приуроченность даек северной группы не выяснена. Длина даек в северной группе достигает 10–50 м, а в южной — до 1,5 км. Мощность изменяется в пределах 1–30 м, реже до 200 м. Контакты крутые и ровные. Породы массивные, темно-зеленые с мелкокристаллической оффитовой, реже порфировой структурой. В последнем случае структура основной массы обычно гиалооффитовая. Состав пород: плагиоклаз № 30 (10–50%), диопсид-авгит (10–40%), амфибол (0–5%), магнетит, титаномагнетит (2–10%), стекло (0–15%), микропегматит (0–3%), вторичные — хлорит (10–35%), карбонат (0–10%), боуллингит (0–5%). Плагиоклаз в ядрах зерен замещен соссюритом. Пироксен уралитизирован до полных псевдоморфоз и интенсивно хлоритизирован,

Таблица 2

	Содержание, вес. %															
	SiO <sub>2</sub>	TiO <sub>2</sub>	Al <sub>2</sub> O <sub>3</sub>	Fe <sub>2</sub> O <sub>3</sub>	FeO	MnO	CaO	MgO	K <sub>2</sub> O	Na <sub>2</sub> O	P <sub>2</sub> O <sub>5</sub>	SO <sub>3</sub>	П.п.п.	Σ	при H <sub>2</sub> O 105—110°	CO <sub>2</sub>
61,97	0,50	16,00	0,68	8,56	0,08	2,35	2,27	2,04	3,13	0,14	—	—	2,68	100,40	0,60	1,34

Числовые характеристики по А. Н. Завариному

	<i>a</i>	<i>c</i>	<i>b</i>	<i>s</i>	<i>c'</i>	<i>a'</i>	<i>f'</i>	<i>m'</i>	<i>n</i>	<i>t</i>	<i>φ</i>	<i>Q</i>
9,7	2,8	16,9	70,4	—	26,5	51,0	22,5	70,8	0,5	3,0	18,8	

Таблица 3

	Содержание, вес. %															
	SiO <sub>2</sub>	TiO <sub>2</sub>	Al <sub>2</sub> O <sub>3</sub>	Fe <sub>2</sub> O <sub>3</sub>	FeO	MnO	CaO	MgO	K <sub>2</sub> O	Na <sub>2</sub> O	P <sub>2</sub> O <sub>5</sub>	SO <sub>3</sub>	П.п.п.	Σ	при H <sub>2</sub> O 105—110°	CO <sub>2</sub>
1	47,53	1,13	14,79	3,18	4,54	0,14	14,91	8,61	0,10	2,15	0,05	—	3,32	100,48	0,48	0,28
2	48,83	1,09	17,75	2,56	4,92	0,17	8,85	5,24	0,49	2,82	0,19	—	7,35	100,26	—	—

Числовые характеристики по А. Н. Завариному

	<i>a</i>	<i>c</i>	<i>b</i>	<i>s</i>	<i>c'</i>	<i>f'</i>	<i>m'</i>	<i>n</i>	<i>t</i>	<i>φ</i>	<i>Q</i>
1	4,8	6,5	32,5	55,1	32,7	21,9	45,3	97,2	1,9	8,3	—4,8
2	7,6	9,4	20,5	62,5	12,5	38,5	49,0	90	1,7	12	+0,4

магнетит замещается гидроокислами железа. Контактовые изменения замещающих дайки северной группы алевролитов и песчаников выражены в слабом их ороговиковании и обогащении окислами железа. Мощность зон измененных пород измеряется единицами метров. Эндоконтактовых изменений не наблюдалось. На контакте с дайками южной группы, в зоне до 0,2 м, яшмы минерализованы магнетитом, эпидотом, лейкоксеном, хлоритом. Диабазы в дайках нередко превращены в смесь хлорита и магнетита с реликтовой структурой. Пересчет по методу А. Н. Заваринского результатов силикатного анализа двух образцов диабазов из района верховьев в р. Укэляят (Дитмар, 1960, 1961) показал близость этих пород типовому составу (по Р. Дэли) при несколько большей основности плагиоклаза, большем содержании магния и меньшем — железа (табл. 3).

Гипербазиты ( $\sigma Cr_2$ ) образуют субсогласные интрузии в центральной части района. Первая — самая крупная (центральная) — интрузия расположена в 2 км севернее оз. Эпильчик. Она проявляется в трех выходах (площадь 18, 2 и 2 км<sup>2</sup>). Ее общая протяженность в широтном направлении равна 13 км. Вторая интрузия (площадь 0,3 км<sup>2</sup>) находится в 6 км к западу от первой. Третья и четвертая небольшие интрузии (площадь 0,3 и 0,8 км<sup>2</sup>) обнажаются в 7 км юго-восточнее центрального тела. Пятая интрузия расположена на водоразделе хр. Снегового в 5 км юго-восточнее горы Сычуши, ее площадь 2,5 км<sup>2</sup>. Шестая (0,1 км<sup>2</sup>) отдалена от предыдущей на 4,5 км к востоку. Все они залегают среди отложений сероцветной вулканогенно-кремнистой толщи ватынской серии и лишь шестая обнажается среди красноцветной кремнистой толщи. Все выходы гипербазитов укладываются в трапецию площадью 200 км<sup>2</sup>. Приурочены они к водораздельным частям гор. Контакты обнажены плохо, но для трех выходов центральной интрузии устанавливаются пологосекущие контакты. Более крупный из северных интрузивов имеет на юге пологий контакт, а на севере — крутой. Форма остальных интрузий точно не установлена. Судя по их крутым контактам (слабо обнаженным), при значительно более пологом залегании вмещающих пород, не исключена возможность принадлежности их к штокам. Гипербазиты различных интрузий несколько отличаются по составу. В северных телах преобладают оливиниты; в центральных — дуниты и перидотиты, в юго-восточных — горнблендиты.

Три выхода центральной интрузии являются разрозненными частями единого крупного факолита, полого погружающегося к юго-западу. Максимальная мощность факолита 1 км, в восточном направлении наблюдается его выклинивание. Интрузия многофазная. Самые древние породы — дуниты — слагают верхнюю часть интрузии, образуя пологосекущую плитообразную заливку мощностью до 500 м. Под ней располагается согласная дунитам полоса пород пироксенитового состава мощностью до 400 м. В западной и северо-западной частях интрузии пироксениты присутствуют и в кровле интрузии дунитов. Эти пироксениты отличаются от пироксенитов подошвы гиганто-зернистым сложением и диопсидовым составом. Взаимоотношения между дунитами и пироксенитами интрузивные. Обычно на контакте в пироксенитах наблюдаются многочисленные (до 40—50%) угловатые ксенолиты дунита. В дунитах изобилуют жилы пироксенитов различной ориентировки и мощности (от 1 см до 3 м), количество которых на отдельных участках, преимущественно в зонах контакта с дунитами, достигает 25%. Породы третьей — плагиоклазитовой — фазы образуют различно ориентированные жилы и дайки мощностью от долей сантиметра до 4—5 м. Контакты их как с дунитами, так и с пироксенитами секущие. Однако в дунитах контакты плагиоклазитов прямолинейные параллельные, с зоной закалки в эндоконтакте и слабой амфиболизацией дунитов в экзоконтакте. Жилы плагиоклазитов, рвущие пироксениты, сильно ветвятся, невыдержаны по мощности и имеют извилистые контакты без зон закалки. В жилах нередко наблюдаются ксенолиты пироксенитов и появляются гибридные пироксен-плагиоклазовые породы. Интрузия дифференцированная. Среди пород дунитовой фазы выделяются разновидности от оливинитов до перидотитов с содержанием пироксена до 30%. В породах пироксенитовой фазы, представленной крупно-

среднезернистыми разностями, присутствуют перидотиты и гигантозернистые пироксениты, возникшие, видимо, в результате постмагматической сегрегации. В плагиоклазитовой фазе, кроме крупно- и гигантозернистых мономинеральных плагиоклазитов, вероятно, в результате ассоцииации появились гибридные породы, содержащие уралит от 1 до 60%. Периферическая часть восточного выхода сложена крупнокристаллическим габбро. Гипербазитам свойственна иссиня-черная окраска.

Дуниты обладают панидиоморфозернистой структурой и состоят из 75—85% оливина (форстерит,  $+2V=85-88^{\circ}$ ), 10—25% серпентина (продольноволокнистый хризотил), 3—8% хромита. Оливиниты отличаются от дунитов отсутствием хромита. Перидотитам свойствена гипидиоморфозернистая, местами решетчатая сидеронитовая, пойкилитовая структуры. Они сложены: оливином — форстеритом ( $+2V=86-88^{\circ}$ ) — 15—65%, диопсид-авгитом ( $+2V=57-58^{\circ}$ ,  $cNg=42-46^{\circ}$ ) — 12—60%, серпентином — 5—35%, хромитом — 0—7%, титаномагнетитом — 0—10%. Здесь в отличие от дунитов оливин в различной степени замещен серпентином. Пироксениты характеризуются панидиоморфозернистой структурой с участками сидеронитовой. Их состав: диопсид-авгит ( $+2V=55-58^{\circ}$ ,  $cNg=44-45^{\circ}$ ) — 30—65%, ромбический пироксен — 0—20%, роговая обманка — 0—12%, титаномагнетит — 5—10%, серпентин и хлорит — 15—30%, эпидот — 0—10%. Породы представлены вебстеритами либо роговообманковыми пироксенитами. Горнбледиты, слагающие периферийные зоны пироксенитов, обладают панидиоморфозернистой структурой и сложены почти нацело зеленой роговой обманкой с небольшим количеством (до 3%) титаномагнетита. Амфибол интенсивно замещается хлоритом. Плагиоклазиты сложены лабрадором № 50—60 (97%, изредка до 60%) и зеленой роговой обманкой (3—40%). Породы содержат ксенолиты пироксенитов. Местами кристаллы амфиболов имеют до 7 см длины.

Контакт гипербазитовой интрузии с вмещающими яшмами и диабазами активный. В экзоконтакте породы интенсивно раздроблены. Яшмы диагенерированы и превращены в полосчатые микрокварциты. В диабазах наблюдается зона активной сульфидной минерализации довольно выдержанной мощности — 10—15 м. Пирит и сфалерит составляют в ней до 7—10% объема породы. В гипербазитах наблюдаются незначительные изменения. В результате воздействия эпимагматических растворов породы подверглись частичной серпентинизации. Одновременно происходила амфиболизация пироксенитов в краевых частях интрузии, приведшая к образованию горнбледитов. Воз действие более поздних гидротермальных растворов привело к образованию по трещинам жильного серпентина с просечками хромита.

Две северные интрузии, расположенные на водоразделе хр. Снегового, имеют пластовое строение и сложены дунитами и пироксенитами в полосах по 30—200 м мощности. Петрографический состав этих пород сходен с породами центральной интрузии гипербазитов. В отличие от последних в дунитах северных интрузий местами развита петельчатая структура, а оливин представлен в основном хризолитом ( $2V=-86^{\circ}-+85^{\circ}$ ). Хромит иногда образует шлировые скопления до 15 см длины, где его содержание возрастает до 20% к массе породы. Породы передко рассечены жилками (мощность до 1 мм) поперечноволокнистого хризотил-асбеста без просечек. Пироксениты северных интрузий представлены: а) авгитовыми разностями, б) вебстеритами, в которых присутствуют 0—15% оливина (хризолит,  $2V=\pm 86^{\circ}$ ), в) бронзититами, состоящими из 85% ромбического пироксена (бронзит,  $2V=-84^{\circ}-+84^{\circ}$ ,  $cNg=2-4^{\circ}$ ), 4% хромита, 10% серпентина. Подобно центральной интрузии ультраосновных пород севернее интрузии многофазны, что выражается в существовании жил крупнокристаллических пироксенитов и гигантозернистых жил, состоящих из оливина (50%), амфибала (15%), плагиоклаза (битовника) — 25%, хромита (5%), биотита (2%) либо из амфибала (20%) и битовника (80%). Вторичные изменения в породах северных интрузий такие же, как и в породах центральной интрузии.

Две юго-восточные интрузии имеют в плане очень извилистые контуры, а юго-западная интрузия изометрична. Они сложены горнбледитами и лишь в их центральных частях обнажаются пироксениты. Очевидно, эти выходы

принадлежат апикальной зоне интрузий. Породы аналогичны одноименным разностям центральной интрузии, отличаясь лишь значительной хлоритизацией.

Проведенный силикатный анализ семи образцов гипербазитов (Дитмар, 1961, 1962) и пересчет его результатов по методу А. Н. Заварецкого с дополнениями по методу Н. Д. Соболева, основанного на прямой зависимости минерального и химического состава гипербазитов, показали близость пород к типовым и малую их измененность (табл. 4).

Возраст интрузивов рассматриваемого комплекса пород определяется следующими данными. Залегание гипербазитов в породах ватынской серии и наличие в последних угловатых обломков гипербазитов позволяет предполагать их внедрение на поздних этапах формирования пород этой серии, т. е. в позднем сеноне (в предмастрихтское время). Магмой кислого, среднего и основного состава прорваны на данной территории образования пекульнейской серии, аяонской толщи, тавенской и аянкинской свит, ватынской серии. Следовательно, нижний возрастной предел ее внедрения — поздний сенон, который и принят на карте. Маастрихтские и более молодые отложения магма указанного состава не прорывает. Однако не исключена возможность более молодого возраста интрузий, поскольку верхняя возрастная граница для них не установлена. На соседней к западу территории Л. И. Аннекеевой и К. С. Агеевым в 1964 г. установлен средне-верхнеплиоценовый возраст аналогичных интрузий. Возможно, что на рассматриваемой территории дайки кислого, среднего и основного состава имеют плиоценовый возраст. Дайки габбро являются более молодыми относительно гранодиоритов и гранодиорит-порфиров, поскольку они их прорывают.

Рудная минерализация позднемелового магматического комплекса представлена проявлениями хромита в гипербазитах, серного колчедана в породах кислого и основного состава. С гранодиорит-порфира генетически связанны проявления графита. Возможно, что к постмагматическим процессам приурочена редкометальная и медная минерализация, установленная в центральной части района.

#### ПЛИОЦЕНОВЫЙ КОМПЛЕКС СУБВУЛКАНИЧЕСКИХ ТЕЛ

Породы плиоценового комплекса образуют два небольших субвулканических тела дацитов ( $\varsigma N_2$ ) в верховых р. Покляваем у западной границы района, прослеживающиеся за его пределами. Залегают они среди поля эфузивно-пирокластических пород корфовской свиты, образуя экструзивные купола (приповерхностные лакколиты) майваймской группы, приуроченные к предполагаемым центрам извержения (Закржевский, 1963). В пределах района размеры восточных частей субвулканических тел являются следующими:  $2 \times 0,5$  и  $2,5 \times 0,8 \text{ км}^2$ . С поверхности и у контактов массивы закрыты мощными современными осыпями. С севера купол ограничен сбросом субширотного направления. Породы массивные розовато-серые сахаровидные криптокристаллические. Структура дацитов порфировая, витропорфировая с микропойкилитовой и микрофельзитовой основной массой. В породах краевых частей массивов появляются флюктуационная и полосчатая текстуры. Во вкраепленниках присутствуют: плагиоклаз № 40 (10—15%), биотит и игольчатая роговая обманка (до 5%). Основная масса пятнистая криптокристаллическая с участками девитрифицированного кислого вулканического стекла и микропойкилитовыми образованиями из кварца и кислого плагиоклаза и игольчатыми кристаллами базальтической роговой обманки. Аксессорные минералы — магнетит, циркон и апатит. Породы содержат единичные оплавленные включения кварца.

Время формирования субвулканических тел тесно связано с эпохой эфузивной деятельности плиоценового времени. Купола залегают среди лав и туфов корфовской свиты, а перекрываются несогласно лавами апукской свиты нижне-четвертичного времени (Закржевский, 1963). Возраст субвулканических образований определен как плиоценовый.

Таблица 4

Номер образца	Порода и место взятия	Содержание, вес. %												
		SiO <sub>2</sub>	TiO <sub>2</sub>	Al <sub>2</sub> O <sub>3</sub>	Fe <sub>2</sub> O <sub>3</sub>	FeO	MnO	CaO	Na <sub>2</sub> O	K <sub>2</sub> O	P <sub>2</sub> O <sub>5</sub>	пл.п.	Σ	H <sub>2</sub> O
1	Дунит, хр. Снеговой	38,74	0,04	0,59	1,75	8,05	0,21	45,07	Следы	0,10	3,93	99,83	—	—
2	—, оз. Этильчик	38,41	0,10	0,69	3,33	10,51	0,24	41,68	0,96	0,15	3,99	100,16	0,25	0,27
3	—, пер. Незамет-	38,61	0,06	0,71	3,71	8,64	0,27	44,85	0,60	0,08	3,39	100,29	0,13	0,13
4	—, пер. Незамет-	38,33	0,07	0,77	4,36	7,05	0,21	46,01	0,14	0,06	4,18	100,56	0,19	0,19
5	—, пер. Незамет-	37,59	0,06	0,01	4,06	7,05	0,21	45,89	Следы	0,06	5,15	100,16	0,19	0,19
6	Магнетитовый оли-	39,40	0,07	0,23	2,60	8,63	0,19	48,06	0,23	0,08	0,15	—	0,88	100,52
7	Винит, пер. Неза-	37,63	0,08	0,04	3,58	8,95	0,23	43,89	0,46	0,08	0,11	—	5,38	100,43
	Перидотит, оз. Этильчик													0,50

Номер образца	Числовые характеристики по А. Н. Заваричному												Доломитовые, числовые характеристики по Н. Д. Соболеву		
	S	a	c	$\bar{c}$	b	Q	$\frac{a}{c}$	$\frac{z}{2}$ (оли-	$x$ (мон-	$y$ (ром-	$h$	пин-	рокс.)		
1	33,3	0,3	0	—	66,3	-33,9	—	93,7	0	6,3	16,4	—			
2	33,8	0,4	0,2	—	65,6	-33,4	2	97,4	2,6	0	22,3	—			
3	33,2	0,0	—	0,3	66,5	-33,8	0	97,9	2,1	0	27,7	—			
4	32,8	0,1	—	0,1	67,0	-34,7	1	99,6	0,4	0	35,9	—			
5	32,7	0,2	—	0,2	67,1	-34,8	0	100	0	0	34,2	—			
6	32,6	0,2	0,05	0,05	67,1	-35,2	4	98,6	1,4	0	21,0	—			
7	33,1	0,05	0,2	—	66,6	-34,0	0,25	99,2	0,8	0	27,0	—			

## РАННЕЧЕРВЕТИЧНЫЙ ДАЙКОВЫЙ КОМПЛЕКС

Дайки базальтов ( $B_{Q_1}$ ) нижнечерветичного комплекса встречаются северо-западнее горы Ледяной, на левом берегу р. Маневаям и на правобережье р. Поклявяй. Они прорывают отложения корфовской свиты. Они являются, вероятно, подводящими каналами к покровам апукской свиты. Дайки вытянуты в субширотном направлении и тяготеют к зонам разрывных нарушений того же направления. Длина даек 50—300 м, мощность 5—20 м. Контакты ровные. Породы массивные, иногда пористые, темно-серые с зеленоватым оттенком, внешние неотличимы от базальтов. Однако по составу они приближаются к андезит-базальтам. Структура пород порфировая, порфировидная, гломеропорфировая, афировая с гиалопилитовой — переходной к интерсертальной, пилотакситовой и гиалиновой основной массой. Вкрапленники и гломеропорфировые сростки базальтов представлены лабрадор-битовитом № 65—75 (10—30%), ромбическим или моноклинным пироксеном (10—15%). Основная масса состоит из микролитов лабрадора № 50—55 (30—50%), моноклинного и ромбического пироксена — энстатита ( $-2V = +50^{\circ} - 70^{\circ}$ ,  $cNg = -0^{\circ} - 3^{\circ}$ ) 10—20%, погруженных в бурое вулканическое стекло, превращенное в хлорит, иддингсит, магнетит. Аксессорные минералы: апатит, магнетит. Нередко встречаются миндалины (0—5%), заполненные кварцем, хлоритом или карбонатом. Породы слабо изменены, что выражается в сосудоритизации плагиоклаза и хлоритизации цветных минералов. Контактовые изменения выражены в осветлении пород экзоконтакта, сопровождающемся развитием карбоната, цеолитов, амфибала, сульфидов. Ширина контактовых зон меняется в зависимости от мощности даек — от 1—3 до 5 м.

На соседней к западу территории в бассейне р. Ялеваям с раннечерветичным магматическим комплексом связана ртутная минерализация (Закржевский, 1963).

## ТЕКТОНИКА

Рассматриваемая территория является частью Корякской складчатой системы. Согласно тектонической схемы Б. Х. Егиазарова (1962), юго-западная часть этой территории относится к Олюторскому прогибу, выполненному отложениями олигоцена — плиоцена, а остальная часть принадлежит его складчатому обрамлению.

Различные по возрасту и морфологии пликативные нарушения тектонические структуры территории объединяются в два структурных яруса: 1) нижний, соответствующий, по нашим представлениям, третьему структурному этажу геосинклинального комплекса тектонической схемы Б. Х. Егиазарова, и 2) верхний, соответствующий четвертому этажу постгеосинклинального этапа. Первый и второй этажи, выделенные Б. Х. Егиазаровым, отвечают структурам протерозойского — палеозойского этапа развития региона.

В нижнем структурном ярусе по различному характеру напряженности складчатых структур выделяются три структурных подъярусов. К первому относятся структуры раннемелового времени, ко второму — структуры позднемелового времени и третий включает структуры палеогена (рис. 2).

Первый структурный подъярус включает структуры, образованные терригенными отложениями пекулынской серии, соответствующими раннемеловому этапу развития. Породы этого возраста распространены крайне ограничено на северо-востоке района. Обнаружены они в тектоническом блоке, где ими сложено южное крыло небольшой антиклинали, осложненное синклинальным перегибом. Антиклиналь носит линейный характер, вытянута в северо-восточном направлении на 15 км, ширина ее менее 5 км. Падение пород на крыльях крутое (до 60°), широко развиты дисгармоничные изоклинальные, иногда опрокинутые, складки высших порядков.

Второй структурный подъярус включает структуры, образованные терригенными отложениями аянской толщи, тавенской и аянкинской свит, вулканогенно-кремнистыми образованиями ватынской серии и ачайваемской свиты, а также терригенными породами эничайвеемской свиты. Эти отложения

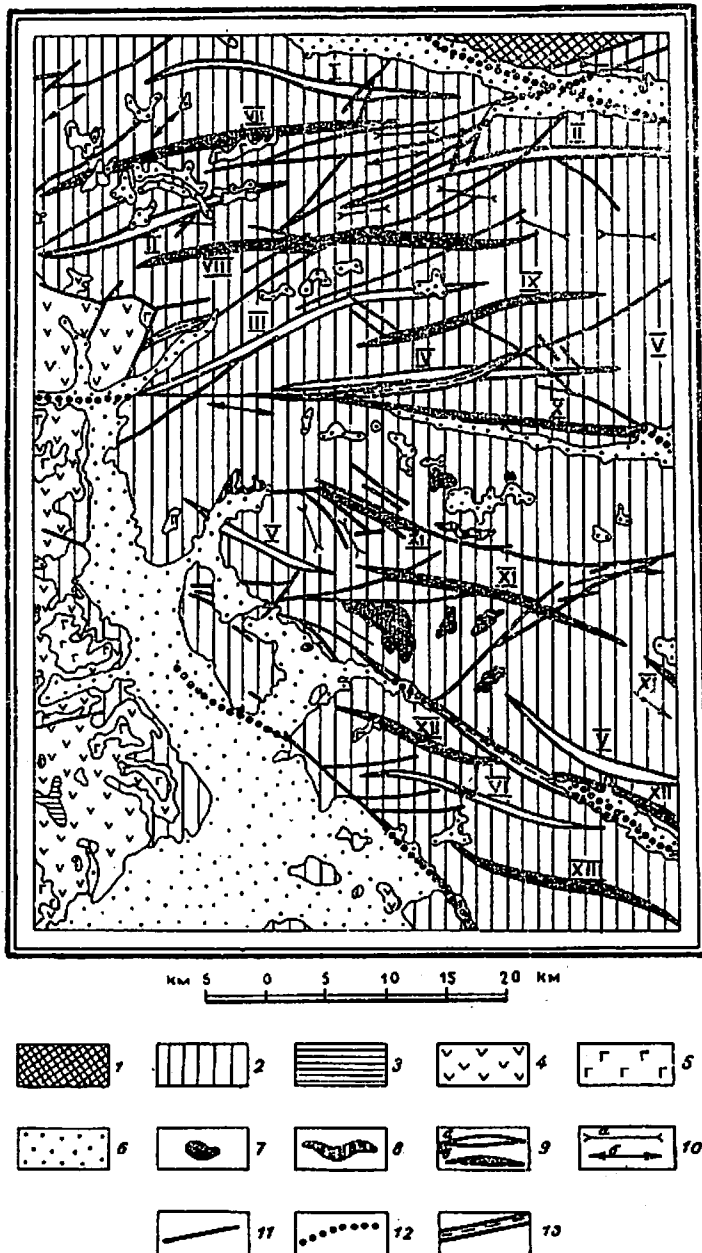


Рис. 2. Тектоническая схема

*Нижний структурный ярус:* 1 — первый подъярус ( $Cr_1$ ); 2 — второй подъярус ( $Cr_2$ ); 3 — третий подъярус ( $Pg$ ). *Верхний структурный ярус:* 4 — первый подъярус ( $N$ ); 5 — второй подъярус ( $Q_1$ ); 6 — пласти рыхлых отложений ( $Q_{III+IV}$ ). *Субсогласные интрузии второго подъяруса*

составляют северное крыло крупной синклинальной структуры западно-северо-западного простирания, осложненное субпараллельными складками более мелких порядков. Крыло основной синклинальной структуры очень полого погружается к юго-западу — в направлении центра Олюторского прогиба. Оно осложнено более мелкими узкими линейными, иногда S-образными в плане складками. Среди складчатых сооружений этой категории в пределах района выделены следующие складки (с севера на юг): антиклинали р. Укэлят Правая, хр. Укэлят, горы Бараньей, р. Матыскен, хр. Снегового, нижнего течения р. Ватыны, юго-западного склона хр. Ватына; синклинали — правобережья р. Укэлят, горы Ледяной, левобережья р. Ильпи и правобережья р. Ильпи, левобережья р. Ватыны, хр. Ватына.

Антиклиналь р. Укэлят Правая прослеживается от западной границы района в восточно-северо-восточном направлении на 30 км. Ширина ее в центре 6 км, в восточной части 2 км. В западной части ядро складки выполнено породами аяонской толщи, к востоку шарнир ее погружается, и она сложена породами тавенской свиты. Антиклиналь имеет симметричное строение. Крылья ее осложнены складками высшего порядка, длиной 5—10 км при ширине 1,5—3 км, северо-восточного направления либо субпараллельными основной структуре. Пласти на их крыльях имеют крутое падение — от 30 до 70°.

Антиклиналь хр. Укэлят прослеживается в широтном направлении на 35 км. Ширина ее колеблется от 3 до 8 км. Сложена она породами тавенской свиты и лишь в восточной части на месте воздымания шарнира в ее ядре обнажаются породы аяонской толщи. Складка отличается от антиклинали р. Укэлят Правая S-образной конфигурацией в плане и кулисообразным расположением осложняющих ее более мелких складок с восточно-северо-восточным простиранием осей.

Антиклиналь горы Бараньей протягивается в широтном направлении на 18 км. Ширина ее 4—6 км. Антиклиналь сложена в ядре породами аяонской толщи, а на крыльях — отложениями тавенской свиты. Складка имеет симметричное строение, крылья ее осложнены более мелкими складками. Пласти на их крыльях имеют падение до 60°.

Антиклиналь р. Матыскен в пределах района имеет протяженность более 30 км. Простирание ее широтное. Она прослеживается на восток за пределы района. Антиклиналь сложена породами тавенской свиты, ширина ее в западной части 2 км, к востоку постепенно увеличивается до 10 км. Складка резко асимметрична с крутым северным крылом (60—90°) и пологим (20—30°) южным.

Антиклиналь хр. Снегового прослежена от среднего течения р. Этелваем почти на 40 км. Ширина складки около 5 км. Антиклиналь имеет кулисообразное строение с общим западно-северо-западным простиранием ундулирующего шарнира и воздыманием его в юго-восточном направлении. Ядро складки сложено породами красноцветной кремнистой толщи ватинской серии, а на востоке — алевролит-вулканогенно-кремнистой толщи. Антиклиналь асимметрична. Ее юго-западное крыло имеет наклон 15—20°, а северо-восточное — 40—60°. Структура осложнена складками северо-северо-восточного и восточно-северо-восточного направлений. Длина их 4—5 км, ширина 1,5—2 км. Углы падения пластов на их крыльях 45—70 и 90°.

*нижнего структурного яруса:* 7 — гипербазиты; 8 — габбро; 9 — оси складок первого порядка нижнего структурного яруса: а) синклиналь (I — правобережье р. Укэлят, II — горы Ледяной, III — левобережье р. Ильпи, IV — правобережье р. Ильпи, V — левобережье р. Ватыны, VI — хр. Ватына), б) антиклиналь (VII — р. Укэлят Правая, VIII — хр. Укэлят, IX — горы Бараньей, X — р. Матыскен, XI — хр. Снегового, XII — нижнего течения р. Ватыны, XIII — юго-западного склона хр. Ватына); 10 — оси складок второго порядка нижнего структурного яруса: а) синклиналь, б) антиклиналь. *Разрывные нарушения:* 11 — наблюдаемые: 12 — скрытые под четвертичными отложениями; 13 — зоны катаклиза

Антиклиналь нижнего течения р. Ватыны прослежена от оз. Эпильчик на 25 км в юго-восточном направлении, ширина ее 4—5 км. Складка сложена породами сероцветной вулканогенно-кремнистой толщи ватынской серии. В средней части складка нарушена зоной дробления, шарнир в этом месте испытывает погружение. Форма в плане S-образная. Антиклиналь асимметричная, опрокинутая к северо-востоку. Северо-восточное крыло складки кроткое (до 60°), юго-западное более пологое (30—40°). Породы на крыльях смыты в мелкие складки, кулисообразно расположенные по отношению к простиранию шарнира антиклинали.

Аналогично строение антиклинали юго-западного склона хр. Ватына (протяженность около 20 км).

Синклиналь правобережья р. Укэлайт — линейной формы, прослеживается в субширотном направлении на 40 км и более, уходя на западе за пределы рассматриваемого района. Ширина складки колеблется от 4 до 6 км. Она сложена на крыльях породами аянкинской свиты, а в мульдах ее развиты породы энчайвеемской свиты. Шарнир складки испытывает плавные ундуляции через 5—8 км. Складка почти симметричная с углами падения пород на крыльях 40—60°. Синклиналь осложнена более мелкими S-образными в плане складками, протяженностью 3—7 км при ширине 1—2 км. Направление осей этих складок изменяется от субпараллельного до поперечного к оси синклинали. Крылья этих складок являются более крутыми — до 70°.

Синклиналь горы Ледяной прослеживается на 50 км и более в восточно-северо-восточном направлении, изменяя его на субширотное на востоке района и уходя далее в том же направлении за его пределы. Ширина складки меняется от 4 до 10 км. В западной части в мульде синклинали обнажаются породы ватынской серии, а в ее восточной — синхронные им отложения аянкинской свиты. В центре структуры шарнир испытывает воздымание и на поверхность выходят породы тавенской свиты. Синклиналь характеризуется небольшой асимметрией; падение пластов в ее северном крыле 20—30°, в южном 30—40°. Она осложнена системой второстепенных брахиформных складок, простирающихся в северо-восточном направлении в ее западной части и в субширотном — на востоке. Длина наиболее крупных из этих складок 3—6 км, ширина 2—3 км.

Синклиналь на левобережье р. Ильпи протягивается в восточно-северо-восточном направлении на расстояние около 30 км. На западе района она скрыта четвертичными отложениями и, вероятно, ограничена субмеридиональным разломом. Ширина ее около 10 км.

Синклиналь на правобережье р. Ильпи протягивается в широтном направлении на 30 км и более, уходя на восток за пределы района. Максимальная ширина ее 6 км. В обеих складках бассейна р. Ильпи наблюдается многократная ундуляция шарниров. Складки сложены породами ватынской серии и лишь во второй из них, при воздымании шарнира на востоке, обнажаются породы тавенской свиты. В мульдах этих двух синклиналей породы собраны в складки меньшего размера (ширина 2—3 км и протяженность 5—13 км), имеющие S-образную форму в плане. Обычно они опрокинуты к северу, асимметричные, с углами падения от 30 до 90°. Направление осей этих складок параллельно оси основной структуры.

Синклиналь левобережья р. Ватыны прослежена от среднего течения р. Этэльвамя в юго-восточном направлении до восточной границы района. Протяженность ее около 45 км, при ширине до 7 км. Складка сложена породами сероцветной вулканогенно-кремнистой толщи ватынской серии, а на западном и восточном окончаниях складки сохранились породы черноцветной вулканогенно-кремнистой толщи. В центре складки, в районе горы Эимнейней, шарнир ее воздымается. Северо-восточное крыло синклинали является пологим (20—30°), а юго-западное — крутым (до 50°). Структура осложнена более мелкими изоклинальными складками до 3 км длины, ориентированными в различных направлениях.

Аналогично строение синклинали хр. Ватына, длина которой около 15 км.

Крылья небольших из указанных складок осложнены еще более мелкими складками, характеризующимися согласным им либо поперечным направлением осей и крутыми углами падения на крыльях от 50 до 90°. Длина их не превосходит 1—2 км при ширине 500—700 м. В них развита дисгармоничная мелкая складчатость.

В пределах развития вулканогенно-кремнистых образований наблюдается довольно резкое различие в характере дислоцированности пород, отличающихся по литологии — дисгармоничная складчатость. Складки высокого порядка, образованные массивно-слоистыми эфузивами и туфами, являются более широкими (до 4 км) и пологими. Тонкослоистые породы, заключенные между первыми, почти всегда собраны в мелкие и крутые складки, шириной от мелких плюс до 300—400 м при сложной конфигурации, с острыми замками и крутыми изоклинальными крыльями.

В юго-западном направлении в районе уменьшается напряженность складок первого порядка и они постепенно приобретают облик, промежуточный между линейными и брахиформными складками. Такое упрощение структур к центру Олюторского прогиба — закономерно.

Третьему структурному подъярусу принадлежат слабо дислоцированные терригенные отложения ильпинской свиты, развитые в среднем течении р. Кай-Теклаваям, где они образуют небольшую синклиналь, осложненную мелкими складками.

Складчатые структуры нижнего структурного яруса осложнены многочисленными разрывными нарушениями типа сбросо-сдвигов. Сбросо-сдвиги располагаются в основном по двум взаимно пересекающимся направлениям, одно из которых близко простиранию осей крупных складчатых структур, а второе — поперечно им. Для северной половины района характерно простирание разрывов по azimuthу 60—80 и 0—20°, для южной 300—320° и 40—70°. Продольные нарушения группируются в зоны. Наиболее крупные из них проходят: 1) от горы Ледяной в северо-восточную часть района, 2) по наиболее высокогорной части хр. Укэлайт, 3) вблизи истоков р. Этэльвамя и дальше к горе Бараньей, 4) от среднего течения р. Этэльвамя к пер. Ватына, 5) вдоль нижнего течения р. Ватыны, 6) вдоль края депрессии по левобережью р. Ачайвамя. Ширина зон до 1 км. Они фиксируются раздробленными породами, превращенными в катализиты, подвергшиеся бластезу, а нередко и в милониты. В пределах зон породы интенсивно минерализованы по густой сети трещин карбонатом, кварцем, пиритом и гидроокислами железа, реже хлоритом, слюдой, ртутью, марганцем, халькопиритом. Все зоны сопровождаются оперяющими нарушениями. Величина вертикальных смещений непостоянна — от десятков до 400—1000 м. Ориентировка поверхности сбрасывателя большей частью крутая до вертикальной, иногда с небольшим (10—20°) наклоном к югу. Горизонтальные смещения невелики — от нескольких до десятков метров, но иногда достигают 500 и даже 1000 м. Оперяющие мелкие разрывные нарушения имеют различные наклоны поверхности сбрасывателя от вертикальных до 40° к югу и юго-западу и гораздо реже к северу. Поперечные разрывные нарушения, как правило, моложе и характеризуются значительно меньшими смещениями. Часто они приурочены к местам наиболее резких ундуляций шарниров крупных складок.

На некоторых участках южнее пер. Незаметного, восточнее горы Эимнейней и др. в местах сопряжений разломов различных направлений развиты более метаморфизованные породы, представленные альбит-актинолитовыми и кордierитовыми сланцами, слагающими зоны шириной до 1,5—2 км.

Верхний структурный ярус подразделяется на два структурных подъяруса. Первый из них включает слабо дислоцированные неогеновые образования, второму подъярусу принадлежат слабо дислоцированные лавовые покровы апукской свиты нижне-четвертичного возраста.

Первый структурный подъярус объединяет структуры, сложенные терригенными и вулканогенными образованиями корфовской свиты. Породы залегают на мезозойско-раннекайнозойском основании и слабо дислоцированы. Углы наклона пластов и покровов лав колеблются от 3—10 до 15°.

Уклон обусловлен неравномерным накоплением продуктов извержений вокруг вулканических аппаратов, а также проявлениями блоковых подвижек фундамента.

Второй структурный подъярус объединяет структуры, образованные лавовыми покровами апукской свиты, залегающими несогласно на породах корфовской свиты и более древних породах складчатого фундамента. Несогласное наложение на образования корфовской свиты, вероятно, было вызвано активным проявлением блоковых подвижек в период затишья перед излияниями раннечетвертичного времени. Породы слабо диагенезированы и залегают почти горизонтально с наклоном пластов 0—5°, реже до 10—15°.

Образования корфовской и апукской свит, слагающие верхний структурный этаж, осложнены сбросами и сбросо-сдвигами. Главные из них расположены в субширотном (70—100°) и субмеридиональном (340—30°) направлениях. В большинстве случаев они являются омоложенными более древними сбросо-сдвигами, усложнившими складчатые мезо-кайнозойские структуры. Субширотный сброс южнее горы Ледяной и система субмеридиональных и юго-восточных сбросо-сдвигов вдоль р. Ачайваем ограничивают опущенный блок, занимающий юго-западную часть района. Минимальная вертикальная амплитуда смещения по ним (в верховьях р. Ачайваем) установлена в 1500 м. Горизонтальные смещения незначительны. Ориентировка поверхности сбрасывателя крупных нарушений очень крутая, большей частью вертикальная. У оперяющих более мелких нарушений наклон поверхности сбрасывателя различный (90—45°).

Изложенное показывает, что структура рассматриваемой территории характеризуется интенсивным проявлением пликативных и дислокаций. В целом же район принадлежит пологому южному крылу крупной синклинальной структуры.

Рыхлый горизонтально залегающий покров недислоцированных верхнечетвертичных и современных отложений лежит несогласно на всех более древних породах. В его пределах нашли отражение неотектонические движения, проявившиеся в повсеместно наблюдаемых эрозионных врезах (как в рыхлых, так и в коренных породах), обусловленных современным воздыманием суши, а также в появлении лавино-обвальных образований, возникших вследствие недавней сейсмичности района.

Пликативные и дислокационные нарушения располагаются вполне закономерно. На северо-западе района крупные складки имеют северо-восточное простирание, плавно меняющееся к востоку на субширотное и далее на восточно-юго-восточное. В южной части района направление складок юго-восточное, т. е. оси складок ориентированы параллельно контуру Олюторского прогиба. Наиболее крупные разрывные нарушения в большинстве субпараллельны осям крупных складок. У некоторых из них восточные окончания несколько отклоняются к северу. Наиболее крупные разрывные нарушения сходятся вблизи впадения в р. Ачайваем ее крупных верхних притоков. Такое же место пересечения можно наметить и для осей крупных складчатых структур. Оно должно располагаться примерно в 15 км западнее точки схождения разрывных нарушений. К широтной линии, соединяющей эти две точки, тяготеют крупные рудопроявления — руч. Треугольников и западнее района — Яльваймское.

Нормальные соотношения между отложениями пекульской серии и аяонской толщи в районе не наблюдались. Б. Х. Егиазаров и О. П. Дундо (1962) предполагают наличие стратиграфического несогласия между ними. Взаимоотношения пород позднемелового возраста, развитых в районе, согласные. Между отложениями ачайваймской и ильинской свит граница не установлена, так как их выходы разобщены. В. А. Титов (1959) и Б. Х. Егиазаров (1962) предполагают угловое несогласие, обусловленное проявившейся в это время фазой складчатости. Породы корфовской свиты залегают на отложениях ильинской свиты с резким угловым несогласием в результате проявившейся в предсреднемиоценовое время фазы складчатости, завершившей геосинклинальный этап развития Корякской складчатой области. Взаимоотношения пород корфовской и апукской свит несогласные (Закржевский,

1963), что вызвано затишьем в вулканической деятельности в предчетвертичное время. Тектонические дислокации, проявившиеся в позднемиоценовое — раннечетвертичное время, носили в основном характер блоковых подвижек и не сопровождались активными складкообразовательными процессами.

## ГЕОМОРФОЛОГИЯ

Формирование горного рельефа началось, по-видимому, в конце плиоценовой эпохи, когда установился стабильный континентальный режим, продолжающийся до настоящего времени. К концу плиоцена рассматриваемая территория располагалась в краевой восточной части обширной депрессии, обрамленной значительно пенепленизованными низкими горами. В конце плиоцена — начале четвертичной эпохи образуются многочисленные разломы, сопровождающиеся интенсивной вулканической деятельностью, в результате которой на месте депрессии формируется обширное вулканическое плато, уходящие далеко на запад. По восточному краю плато, совпадающему с зоной дробления, формируется в современном виде речная долина р. Ачайваем. В нижнечетвертичное время вулканализм постепенно затухает. Последующие тектонические напряжения приводят к формированию неравномерных блоковых поднятий. Вследствие этого, а также возрастающей скорости общего поднятия, происходит интенсивное расчленение поверхности процессами денудации, перестройка гидросети. К началу верхнечетвертичного времени уже был сформирован рельеф, близкий к современному. При формировании рельефа дважды претерпел воздействие ледников. Ранее считалось, что первое оледенение произошло в среднечетвертичное время. Накопленные материалы показывают, что такие рельефообразующие факторы, как возрастающее поднятие, сопровождающее интенсивным сносом, а также широкое развитие верхнечетвертичного оледенения несомненно привели к уничтожению следов среднечетвертичного оледенения, признаки которого в настоящее время в районе не отмечаются. Образование кругосклонных высоких гор совпало во времени с общим похолоданием климата, обусловившим развитие оледенения. Речные долины горной части района были переуглублены и приобрели характерный облик трогов, а водосборные воронки в их истоках преобразовались процессами нивального выветривания в цирки и кары. Начавшееся потепление климата в конце верхнечетвертичной эпохи вызвало постепенное отступание ледников, по мере которого восстанавливалась речная сеть. Серия последующих пересхватов привела к современной конфигурации гидросети с обособлением отдельных участков прежних долин. Похолодание, наступившее после климатического оптимума в середине современной эпохи привело к возобновлению оледенения, рельефообразующая роль которого ограничивалась подновлением каров. В настоящее время ледники находятся в стадии деградации. В современную эпоху в горной части района на общем фоне неравномерного поднятия, основными рельефообразующими факторами являются морозное выветривание и гравитация, обеспечивающие сохранение крутизны горных склонов и характерные для высот 700—900 м. Ниже наряду с ними развиты процессы эрозии, а на высотах до 300 м отмечаются солифлюкционные процессы. В основании склонов гор наблюдается формирование обширных шлейфов и конусов выноса. Речная эрозия значительна в горной части района, где интенсивное поднятие сопровождается образованием каньонов и террасовых комплексов с максимальным врезом до 50 м. В пределах низменностей преобладают процессы эрозии и интенсивной переработки ледниковых отложений.

На рассматриваемой территории выделяются пять типов рельефа (рис. 3): 1) высокогорный альпийский рельеф, 2) среднегорный альпинотипный рельеф, 3) среднегорный глубокорасчлененный рельеф с останцами лавовых плато, 4) пологоувалистый рельеф, 5) западинно-буగристый и экзарационно-аккумулятивный рельеф.

Высокогорный альпийский рельеф приурочен к водоразделу хребтов Уклайт и Снегового, а также к району горы Ледяной — в пределах распространения тавенской свиты и ватинской серии сенонского воз-

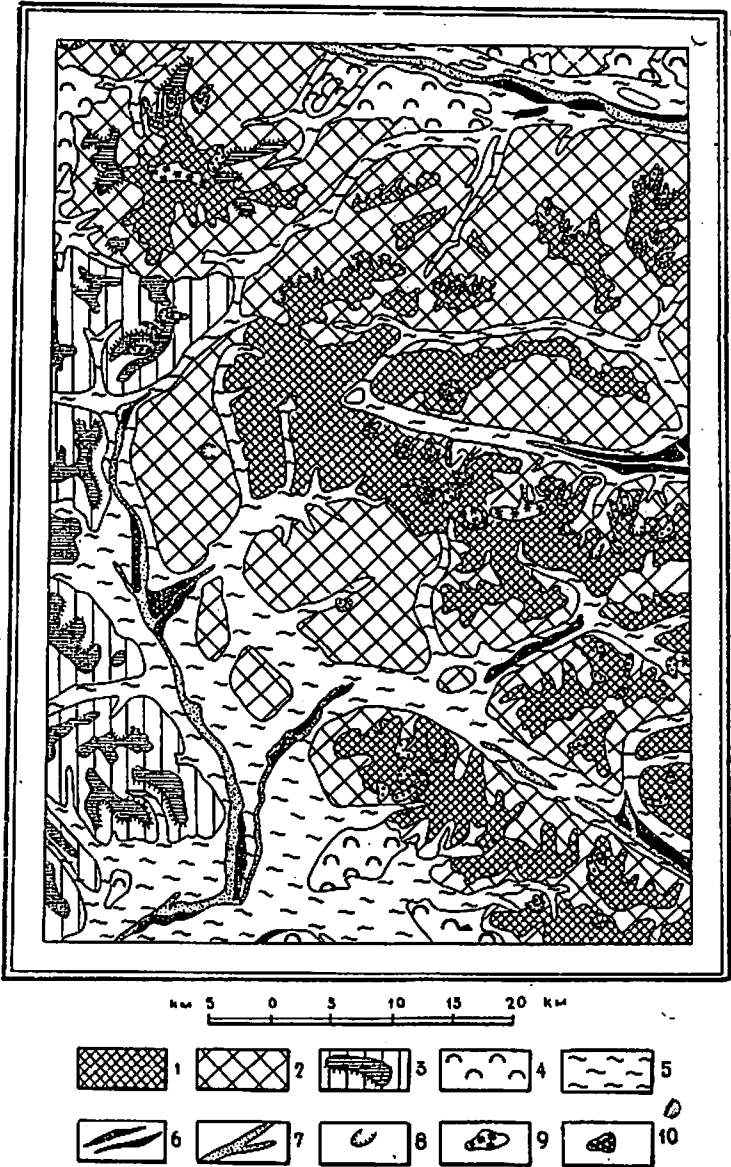


Рис. 3. Геоморфологическая схема

1 — высокогорный альпийский рельеф; 2 — среднегорный альпинотипный рельеф; 3 — среднегорный, глубокорасчлененный рельеф с останцами лавовых плато; 4 — пологоувалистый рельеф; 5 — западнико-буристый и экзарационно-аккумулятивный рельеф; 6 — комплекс надпойменных террас; 7 — комплекс пойменных террас; 8 — кары; 9 — современные ледники; 10 — современные морены

раста. Горный ландшафт здесь представлен сочетанием узких гряд, ориентированных, в общем, согласно с простиранием структур. Вершины гор достигают высот 1900—2560 м, а склоны отличаются весьма резкой скользкостью. На склонах развиты ледники, троги и кары, местами забитые снегом в течение всего лета, что характерно для современной ледниковой области. Этот тип рельефа приурочен к интервалу высот 1800—2560 м. Гидросеть развита слабо и долины характеризуются V-образным поперечным профилем с крутым уклоном русла. Формирование резко расчлененных склонов и каров происходило в верхнечетвертичную и современную эпохи.

Среднегорный альпинотипный рельеф развит на большей части территории — в пределах распространения всех отложений верхнемелового возраста и характеризуется сравнительно большими относительными превышениями — 600—900 м при абсолютных отметках вершин 1300—1800 м. Горный ландшафт здесь создан узкими грядами с несколько склонами, иногда пилообразными вершинами. В верхних частях склонов широко развиты кругосклонные поверхности и ледниковые формы. Этот тип рельефа приурочен к интервалу высот 700—1800 м. Гидросеть в основном развита по простиранию пород и вдоль зон разрывных нарушений. В период верхнечетвертичного оледенения долины наиболее крупных рек приобрели корытообразную форму, однако их истоки и боковые притоки сохранили крутой продольный и V-образный поперечный профиль. Формирование рельефа происходило одновременно с возникновением высокогорного альпийского рельефа.

Среднегорный глубоко расчлененный рельеф с останцами лавовых плато приурочен к районам развития вулканогенных образований корфовской и апукской свит на правобережье р. Ачайвам и в ее истоках. В современном эрозионном срезе этот рельеф представляет собой группы горных вершин узкой вытянутой, реже платообразной формы с крутыми склонами и многочисленными уступами, высотой до 200 м. В истоках р. Ачайвам и в районе горы Ледяной участки плато расположены на разных гипсометрических уровнях и представляют собой плоские останцовые поверхности блокового строения. Поверхность плато расчленена небольшими по протяженности, но глубокими (на юге 300—400 м и на севере до 900 м) речными долинами троговой и V-образной формы с цирками и карами в истоках. Этот тип рельефа приурочен к высотам в интервале 600—2100 м.

Пологоувалистый тип рельефа развит на северо-восточном крае обширной депрессии, вмещающей долину р. Ачайвам и нижние части ее левых притоков: Ватанярчаваям, Кай-Ачайвам, Тэклаваям и Умайдгиваям. Этот тип рельефа развит на вулканогенных породах ачайвамской свиты и образован группой разобщенных между собой пологих и невысоких удлиненных возвышенностей с абсолютными отметками 600—800 м и относительными превышениями 50—200 м, вытянутых вдоль северо-восточного края депрессии параллельно хр. Батына. Подобный рельеф с абсолютными высотами до 800—900 м развит также в районе горы Длинной и в приподлинных частях р. Указляет на терригенных породах аянской и тавенской свит. Формирование пологих возвышенностей происходило в результате речной эрозии после окончания четвертичного вулканизма.

Западнико-буристый и экзарационно-аккумулятивный типы рельефа развиты в пределах депрессии р. Ачайвам и по долинам наиболее крупных рек района на абсолютных отметках 120—240 м. На фоне окружающих гор этот рельеф выглядит всхолмленной равниной. Указанный тип рельефа обусловлен деятельностью ледников верхнечетвертичной эпохи. В восточной части Ачайвамской депрессии, а также повсеместно в широких долинах развиты экзарационные поверхности, выразившиеся в образовании поверхностей подножий склонов и днищ долин с сохранившимися признаками ледникового простирания. Вследствие разной степени переуглубления долин экзарацией возникли висячие долины мелких боковых притоков. На склонах долин передки короткие продольные уступы и ложбины, возникшие при эрозионной деятельности талых ледниковых вод, текших по краю ледника. Моренные ландшафты широко развиты в пределах

Ачайвайямской депрессии, а также в большинстве широких долин горной части района. Морены, покрывающие склоны пологих возвышенностей в междуречье Тэклаваям и Умайолгиваям, а также межгорную наклонную долину, находящуюся северо-западнее оз. Эпильчик, характеризуются ровной поверхностью с пологими грядами и разделяющими их ложбинами. Они образовались, вероятно, в ранней стадии верхнечетвертичного оледенения. Морены поздней стадии, развитые на более низких высотах, отличаются хорошо сохранившимся первоначальным рельефом, сформировавшимся при отступании ледистым рельефом. Гряды окаймлены пологими уступами высотой 25–30 м, вдоль подножия которых располагаются ложбины, промытые потоками тальных ледниковых вод. Западнее горы Черной основные морены выстилают днище депрессии и характеризуются слегка выпуклой плоской поверхностью с редкими западинами.

Река Ачайвайям приурочена, вероятно, к древней долине, существовавшей до проявлений верхнемиоценового — нижнечетвертичного вулканизма. Образование этой долины происходило, очевидно, одновременно с развитием рельефа всего района. Другие речные долины являются вложенными в ледниковые долины. В их пределах наблюдается комплекс эрозионно-аккумулятивных террас. Глубина последедникового эрозионного вреза рек сильно колеблется. В бассейне рек Матыскин и Ватыны она составляет 40–50 м, а в бассейне рек Укэляйт, Этелвайям, Ачайвайям и Умайолгиваям средняя глубина вреза — 15–20 м. Различие уровней эрозионных уступов террас этих рек, вероятно, связано с различной крутизной уклона днищ долин и с удалением от главного базиса эрозии (для р. Ачайвайям оно в три раза больше, чем для рек Матыскин и Ватына). По крупным рекам (Укэляйт, Матыскин, Ватына и Ачайвайям) развит комплекс аккумулятивных эрозионных террас. Среди них выделяются пойменные и надпойменные террасы. Первые (с уровнями 1 и 2 м) развиты в прирусловой части, образуя многочисленные косы и острова. Террасы с уровнями 5 и 10 м, сложенные песчано-галечным материалом с грубой косой слоистостью, наклоненной вниз по течению рек, являются надпойменными аллювиальными, образованными в последедниковое время. Более высокие уровни террас (14–17 м) развиты в нижних частях крупных рек; они сложены ледниковым материалом и образованы, по-видимому, в результате эрозионной деятельности рек, питавшихся талыми ледниками водами ледников, расположенных в верховьях этих рек (на схеме выделены только наиболее широкие участки этих террас).

Современные ледники располагаются в районе горы Ледяной и на водораздельной части хребтов Укэляйт и Снегового. Ледники карового типа. Днища каров расположены на уровне 1000–1400 м. Всего зафиксировано более 55 ледников, площадью от 0,3 до 7 км<sup>2</sup>. Мощность льда колеблется от 40 до 100 м. Ледники расположены в центрах предполагаемых очагов питания венчечетвертичных ледников, кары которых и унаследовали. У современных ледников развиты основные и боковые морены. Кроме каровых ледников в глубоких затененных долинах верховьев ручьев и карах встречены снежники-перелетки площадью 0,2–0,5 км<sup>2</sup>.

### ПОЛЕЗНЫЕ ИСКОПАЕМЫЕ

В пределах территории листа Р-59-ХХII выявлены рудопроявления ряда полезных ископаемых. Перспективными полезными ископаемыми района являются: ртуть, марганец и строительные материалы. Заслуживают внимания проявления титана, хрома, меди и никеля. Поисковое значение на данном этапе исследований имеют проявления ванадия, серебра, свинца, цинка, мышьяка, золота, олова, лантана, церия, скандия, сурьмы и графита.

**Марганец.** Рудопроявления марганца сконцентрированы главным образом в широкой зоне северо-восточного простирания, прослеженной от бассейна р. Ватанярчаваям к Ватынскому перевалу. Большинство коренных рудопроявлений марганца расположены в районе Ватынского перевала (49–53). Оруденение приурочено к красным яшмам и кремнисто-глинистым по-

родам красноцветной кремнистой толщи ватынской серии. Скопления марганцевых минералов образуют согласные линзы длиной от 0,15 до 8 м, мощностью 0,1–1,5 м, и кругосекущие жилы длиной 2–10 м, мощностью 0,2–2 м различной ориентировки. Рудные жилы пространственно связаны с линзами марганцевого оруденения. Минерографическим и рентгеноструктурным анализами установлено, что марганцевые руды представлены браунитом с включениями родохрозита, изредка псиломелана. Химический анализ штуфных проб показал содержание окиси марганца в руде от 0,95 до 55,18%. Спектральный анализ установил присутствие в марганцевой руде: меди до 0,05%, галлия до 0,002%, стронция до 0,01%, титана до 0,6%, ванадия до 0,01%, теллура 0,000003%, индия 0,000008%, серебра 0,00002%. Вокруг указанных проявлений наблюдается ореол рассеяния браунита (47) площадью около 90 км<sup>2</sup>, в пределах которого 10 шлиховых проб (из 55) содержат весовые количества браунита (до 20 г/т).

Коренные рудопроявления, аналогичные отмеченным у Ватынского перевала, были встречены в бассейне р. Этелвайям (41), в среднем течении р. Ватанярчаваям (37), на правобережье р. Кай-Ачайвайям (39) и на северном склоне хр. Ватына (57, 61); скопления марганцевых минералов об разуют линзы и жилы, длиной 0,2–4 м, мощностью 0,1–2 м.

Помимо отмеченных рудопроявлений ореол рассеяния браунита встречен на правобережье р. Ильпи (25). Площадь его около 80 км<sup>2</sup>. Из 57 шлиховых проб аллювия 29 содержат единичные знаки марганцевых минералов. Небольшие ореолы рассеяния установлены по данным шлихового опробования в истоках р. Ачайвайям, к северу от горы Эимнейней и на левобережье нижнего левого притока р. Ватыны, где содержание браунита выявлено от единичных знаков до весовых количеств (10 г/т). В одном шлихе у перевала Незаметного браунит содержитя в количестве 770 г/т. Спектральным анализом установлено присутствие марганца в штуфных пробах пород, отобранных из лимонитизированных зон дробления в устье р. Этелвайям, на правобережье р. Ватанярчаваям, на левобережье р. Ватыны юго-восточнее перевала Незаметного и в юго-восточном углу района. Содержание марганца достигает 0,3–1,0%. На правобережье нижнего течения р. Матыскин марганцевые минералы встречены в сульфидных прожилках, мощностью 7–10 см, в ассоциации с медью (1%), титаном (1%), ванадием (0,1%), цирконием (0,01%), серебром, иттрием, стронцием (тысячные доли процента).

Марганцевое оруденение в линзах имеет осадочное происхождение. Оно сингенетично красным яшмам ватынской серии. Жильное оруденение является скорее всего результатом гидротермальной переработки марганца линз с последующим его переотложением, что подтверждается пространственной связью и одинаковым составом руд. В настоящее время практического значения не имеет.

**Титан.** Проявление титана в коренном залегании установлено в лимонитизированных зонах вдоль тектонических нарушений субширотного направления. Титан присутствует в зонах дробления совместно с медью (42, 45, 48) севернее оз. Эпильчик, в истоках верхнего правого притока р. Ватыны, на правобережье р. Матыскин, а также на правобережье р. Ватанярчаваям в ассоциации с ртутью, марганцем, медью, цинком, свинцом, ванадием и в истоках крупного левого притока р. Этелвайям. Химический анализ 13 штуфных проб показал присутствие в них окиси титана (0,70–2,00% при среднем содержании 1,4%).

**Ванадий.** Присутствие ванадия установлено спектральным анализом в штуфных пробах пород, взятых из лимонитизированных зон по правобережью р. Матыскин. Его содержание достигает 0,1%. Встречается он совместно с медью, марганцем, никелем, свинцом, цинком, титаном. В количестве 0,05–0,08% ванадий установлен в штуфной пробе из лимонитизированных пород правобережья р. Ватанярчаваям и в металлометрических пробах элювия на правобережье р. Укэляйт и в устье р. Этелвайям.

По данным спектрального анализа металлометрических проб из делювия склона долины левого нижнего притока р. Ватыны, выявлен ореол рассеяния ванадия площадью 8 км<sup>2</sup>. Содержание ванадия не превышает 0,08%. На этом

же участке металлометрические пробы содержат повышенное количество ртути (до 0,015%), скандия (0,005%), стронция (0,08–0,3%), олова (ореол 61), а в шлихах этой реки присутствует золото в единичных знаках. Генезис ванадия не выяснен.

**Хром.** Рудопроявление хрома в коренном залегании установлено на водоразделе хр. Снегового (29). Представлено оно шлировыми включениями хромита в гипербазитах. Размер шлиров 1–15 см, они зафиксированы на площади 10×20 м<sup>2</sup>. Химический анализ штуфной пробы хромита показал содержание в ней: SiO<sub>2</sub> 4,27%, TiO<sub>2</sub> 0,60%, Al<sub>2</sub>O<sub>3</sub> 10,16%, Fe<sub>2</sub>O<sub>3</sub>+FeO 32,11%, Cr<sub>2</sub>O<sub>3</sub> 38,83%, MgO 14,24%, MnO 0,33%. Проявление хромита по своим масштабам имеет поисковое значение.

Указанное рудопроявление окружено ореолом рассеяния хромита (27) площадью около 25 км<sup>2</sup>. В его пределах из отмытых 22 шлиховых проб 10 содержат от 4 до 18 г/т хромита.

Ореол рассеяния хромита площадью 12 км<sup>2</sup> установлен в верховьях р. Ильи (18). В западной части этого ореола наблюдались выходы синей глины, свойственной коре выветривания гипербазитов.

Спектральным анализом в металлометрических пробах, отобранных из гипербазитовых интрузий восточнее и севернее горы Эймнейней, установлено повышенное содержание хрома (0,6–2,0%).

**Серебро.** В истоках р. Укэлят Правая металлометрическим опробованием зоны лимонитизированных пород площадью около 2 км<sup>2</sup> вблизи интрузии гранодиоритов выявлен ореол рассеяния серебра (2) с содержанием до 0,001% в ассоциации с ртутью.

В верховьях р. Поклявайм серебро присутствует в количестве 0,001% в металлометрических пробах делювия (ореолы 33, 54, площадью по 4 км<sup>2</sup>).

В непосредственной близости от ореолов рассеяния серебра установлены проявления свинца.

**Медь.** Рудопроявления меди в коренном залегании установлены в породах трех лимонитизированных зон дробления: в 5 км севернее оз. Эпильчик (45), в истоках верхнего правого притока р. Ватыны (42) и на правобережье р. Матыкен (48). Все проявления расположены на одной линии северо-восточного направления и приурочены к разломам субширотного простирания. Кремнистые породы в зонах дробления минерализованы сульфидами. Медь присутствует в виде прожилков и вкрапленности халькопирита и примазок малахита. Халькопирит образует также включения в кремнистой породе либо в пирите, и в нем содержатся включения кубанита. Штуфные пробы (в проявлениях 42, 45, 48) содержат медь по данным химического анализа в количестве 0,29–1,44% и по данным спектрального анализа — 0,5–2,0%. Меди сопутствуют титан, цинк, ртуть, марганец, ванадий, молибден.

Кроме указанных проявлений, медь установлена минерографически в породах ртутного рудопроявления устья р. Этелвайм (31) в виде халькопирита (около 1%). Спектральным анализом металлометрических проб присутствие меди (до 0,1%) установлено в лимонитизированных породах зоны дробления по правобережью р. Ватанярчаваям (35).

**Свинец.** Проявления свинца, установлены шлиховым опробованием аллювия. Выявлены ореолы распространения галенита (площадью 4–6 км<sup>2</sup>) в истоках р. Укэлят Правая (3), на северном склоне горы Ледяной (5), на правобережье р. Маневвайм (32) и в низовьях р. Ватанярчаваям, где он встречается в ассоциации со сфалеритом. Галенит в шлихах присутствует в единичных знаках. Невдалеке от последних двух контуров металлометрическим опробованием выявлен небольшой ореол рассеяния свинца (54) с содержанием 0,003–0,005%.

Присутствие свинца (до 0,004%) установлено спектральным анализом штуфных проб из лимонитизированных пород ртутного проявления устья р. Этелвайм (31).

**Цинк.** Проявления цинка в коренном залегании установлены в субширотных зонах лимонитизированных пород вдоль тектонических нарушений по правобережью р. Ватанярчаваям (35), в устье р. Этелвайм (31) и в истоках верхнего правого притока р. Ватыны (42). Спектральный анализ ме-

таллометрических проб элювия (35) показал содержание 0,06–0,2% цинка в ассоциации с медью, марганцем, свинцом, никелем, ртутью. Химическим анализом штуфных проб лимонитизированных пород (42) установлено присутствие цинка в количестве 0,25–0,95% в ассоциации с медью, марганцем и ртутью.

В нижнем течении р. Ватанярчаваям шлиховые пробы аллювиальных отложений (38) содержат единичные знаки сфалерита совместно с галенитом. Сфалерит в единичных знаках присутствует и в шлихах из аллювия в устье р. Этелвайм.

**Никель.** Спектральным анализом металлометрических проб установлено пять небольших ореолов рассеяния никеля площадью по 3–6 км<sup>2</sup> в центральной части района в поле развития гипербазитов (28, 40, 43, 44, 46). Содержание никеля — 0,03–0,1%.

**Мышьяк.** Проявления мышьяка обнаружены металлометрическим опробованием аллювия правого нижнего притока р. Поклявайм вблизи ореола 54, где содержание мышьяка достигает от 1 до 10% (по данным спектрального анализа). Выше по ручью расположен выход травертинов, содержащих 0,3% мышьяка.

Кроме того, мышьяк присутствует в металлометрических пробах делювия по левобережью р. Маневвайм в количестве 0,01%.

**Золото.** Обнаружено в виде тонких слабоокатанных пластинок неправильной формы в разобщенных шлихах аллювия верховий правого верхнего притока р. Укэлят, нижнего течения р. Ватанярчаваям, среднего течения рек Кай-Теклаваям и Умайолгиваям, а также в трех пробах аллювия нижнего течения р. Ватыны. Размеры пластинок 0,1–0,5 мм. Содержание золота в пробах ограничивается 1–3 знаками.

**Олово.** Проявление олова обнаружено металлометрическим опробованием делювия в бассейне нижнего левого притока р. Ватыны, где пробы, содержащие от 0,01 до 0,04% олова, образуют небольшой ореол рассеяния (60).

**Лантан, церий.** Они обнаружены в отдельных металлометрических пробах делювия, взятых северо-восточнее и юго-восточнее горы Эймнейней и на правобережье нижнего течения р. Ватыны. Содержание — 0,05–0,3%. Генезис не установлен.

**Скандий.** В результате спектрального анализа 18 штуфных проб элювия и делювия на ртутном рудопроявлении руч. Треугольников установлено содержание скандия в количестве 0,003–0,005%. Пробы расположены на северном окончании рудопроявления ртути в виде полосы длиной 750 м, шириной 200–250 м.

Металлометрические пробы, содержащие 0,005% скандия, отобраны из зон ожелезненных пород севернее горы Эймнейней и по нижнему левому притоку р. Ватыны.

**Ртуть.** Ртутная минерализация в рассматриваемом районе принадлежит восточной части Энычаваям-Ачайваймской ртутоносной зоны (Егиазаров, 1961). В пределах описываемой территории выявлено 10 коренных рудопроявлений ртути и 20 шлиховых ореолов рассеяния киновари.

Первые сведения о перспективах района на ртуть получены Ю. П. Ершовым в 1956 г. Последующими съемочно-поисковыми работами м-ба I : 200 000 были выявлены три коренных рудопроявления ртути в верховьях рек Ачайвайм; одно — в бассейне р. Ильпи, два — в бассейне р. Ватанярчаваям, три — в верховьях и устье р. Этелвайм и одно — в районе горы Черной (Дитмар и др., 1960–1963 гг.).

Основные проявления ртути концентрируются в двух рудных полях субширотного направления. Первое поле включает коренные рудопроявления ртути, установленные в бассейне левого верхнего крупного притока р. Ачайвайм и в верховьях рек Этелвайм и Ильпи. В западном направлении оно протягивается до истоков р. Ачайвайм Правая (за пределами района). Второе рудное поле охватывает устье р. Этелвайм и бассейн р. Ватанярчаваям. Рудные поля контролируются крупными сбросами субширотного и северо-

восточного направлений. Ртутная минерализация приурочена к участкам интенсивной трещиноватости.

В пределах первого (Этеваямского) рудного поля наиболее крупным является рудопроявление ручья Треугольников (20), расположенное в верховьях левого верхнего притока р. Этеваям. Площадь его около 2,5 км<sup>2</sup>. Участок слагают дислоцированные породы алевролито-вулканогенно-кремнистой и красноцветной кремнистой толщи ватынской серии. Севернее расположены небольшой шток габбро. Породы нарушены крупным сбросом широтного направления, проходящим по середине участка и прослеженным по всей территории листа. Указанный сброс прослежен до Ачайяямского ртутного рудопроявления (западнее рассматриваемого района). Здесь же фиксируются сбросы северо-восточного направления. В зонах сбросов породы катаклизированы и брекчированы. Их оперяют более мелкие нарушения. Оруденение представлено вкрапленными, прожилково-вкрапленными и брекчевидными рудами в яшмах и микрокварцах ватынской серии. Ртутная минерализация имеет, очевидно, локальное развитие и приурочена главным образом к узким кругонаклонным зонам разрывных нарушений, оперяющим основной разлом. Трецины скальвания северо-западного направления и трещины отрыва северо-восточного и субширотного направлений являются рудовмещающими. Оруденение представлено киноварью в ассоциации с пиритом, магнетитом. Характер ассоциация киновари с окислами железа. Отмечается замещение пирита гидроокисями железа совместно с киноварью. Киноварь образует прожилки, пленки, гнезда и рассеянную вкрапленность. Максимальная концентрация киновари (до 75%) содержится в брекчиях микрокварцитов и яшм. Гнезда киновари достигают 0,6×0,5×0,3 м и представляют собой брекчию микрокварцитов, сцепленную киноварью с содержанием ртути, по данным химического анализа, от 2,63 до 21,21%. В трех штуфных пробах окружающих эти гнезда пород химическим анализом установлено содержание ртути 0,14—0,42%. По результатам химического анализа 15 бороздовых проб выявлено содержание ртути в 8 пробах из яшм в количестве 0,0001—0,005%. Спектральный анализ 50 бороздовых и 21 штуфной пробы показал, что в 60 из них содержание ртути колеблется от 0,0002 до 0,05%. По данным спектрального анализа металлометрических проб, содержание ртути достигает 0,1%. При обработке данных металлометрической съемки выявлены наиболее богатые зоны, расположенные предположительно над невскрытыми рудными телами субширотного и северо-восточного проявлений длиной 50—300 м. Проведенные каппаметрические исследования металлометрических проб показали совпадение магнитного (каппаметрического), солевого (металлометрического) и механического (шлихового) ореолов, наблюдаемое в текtonических зонах. Это позволяет предполагать связь рудных тел с оперением крупных разрывных нарушений (Дитмар, Бакулин, 1960).

Рудопроявление ручья Треугольников окружает ореол рассеяния киновари (19), площадью более 10 км<sup>2</sup>. В его пределах из элювия и аллювия промыто 284 шлиховые пробы и протолочки, 85% которых содержат весовые количества киновари (0,1—300 г/т), что значительно увеличивает перспективы участка.

В непосредственной близости к рудопроявлению ручья Треугольников, к северу от него, ртуть обнаружена в кремнистых породах лимонитизированных зон дробления. Площадь зон 0,3—1,0 км<sup>2</sup>. Минерографически в этих породах установлена вкрапленность киновари — менее 1% (13, 17). Из шести шлиховых проб (в ореоле 17 площадью 8 км<sup>2</sup>) одна содержит 0,4 г/т киновари — и две 30 и 120 знаков. Спектральным анализом металлометрических проб делювиально-элювиальных образований в лимонитизированных зонах (13, 14, 16) установлено среднее содержание ртути 0,003 и до 0,01%.

Рудопроявление, расположенное в истоках верхнего левого притока р. Ильпи (23), принадлежит Этеваямскому рудному полю и находится на продолжении зоны разрывных нарушений северо-восточного направления, которой принадлежит проявление ручья Треугольников. Рудопроявление встроено на площади 150×100 м<sup>2</sup> среди зоны лимонитизированных дробленых яшм ватынской серии. В 26 отмытых протолочках и шлиховых пробах ки-

новарь установлена в количестве 0,2—2,0 г/т. Химическим анализом шести штуфных и спектральным анализом 250 металлометрических проб выявлено содержание ртути от 0,0005 до 0,03% в ассоциации со скандием (0,003—0,005%). Это коренное рудопроявление ртути окружает ореол рассеяния киновари (22) площадью 8 км<sup>2</sup>, где из 19 шлиховых проб 1 содержит 0,3 г/т и 8 — от 11 до 120 знаков киновари.

В пределах второго (Ботанярчаваямского) рудного поля наиболее крупным является рудопроявление устья р. Этеваям (31). Оно расположено в 250 м юго-восточнее устья этой реки и приурочено к зоне тектонических нарушений северо-западного проявлений, по левобережью р. Ачайяям. Лимонитизированные катаклизиты гранодиоритов и яшм ватынской серии в текtonической зоне содержат тончайшие видимые пленки и мелкую вкрапленность киновари. Здесь же встречаются ее зерна размером до 4 мм. Рудная зона прослежена с перерывами в широтном направлении на 150 м при ширине около 20 м. В анилифах установлено содержание киновари до 0,1% в ассоциации с браунитом, халькоzinом и ковеллином. В породах этого рудопроявления спектральным анализом установлено в незначительных количествах присутствие галлия, иттрия, скандия. Химический анализ одной штуфной пробы показал содержание ртути 0,055%, а спектральным анализом в 15 штуфных пробах выявлено ртуть — от 0,0002 до 0,06%. В двух пробах отмечены признаки наличия герmania.

Восточнее охарактеризованного рудопроявления (31) выявлен ореол рассеяния киновари в истоках р. Ботанярчаваям (34), площадью 35 км<sup>2</sup> с единичными знаками киновари в шлихах. В пределах этого ореола имеется семь лимонитизированных зон дробления яшм ватынской серии субширотного проявлений длиной от 50—100 до 500 м при ширине от 5—10 до 30—100 м. Спектральным анализом штуфных и металлометрических проб установлено содержание ртути в породах зон дробления до 0,0004%. Ей сопутствуют: марганец, ванадий, титан, медь, свинец, цинк (35), титан и барий (36), титан и медь (45).

К северо-востоку от рудопроявления устья р. Этеваям (31) выявлен ореол рассеяния киновари в среднем течении р. Этеваям (21) площадью 60 км<sup>2</sup>. Шлиховые пробы содержат до 0,1 г/т киновари. Породы лимонитизированной зоны в восточной части ореола содержат, по данным спектрального анализа, 0,0004% ртути.

Помимо отмеченных проявлений двух рудных полей поисковый интерес представляют ореолы рассеяния киновари в северной части территории, выявленные в районе горы Ледяной (4, 8, 9), на правобережье р. Укзляят (10), по левобережью р. Матысken (26), и на юге: у горы Черной (55), на правобережье р. Ватыны (62). Содержание киновари в шлихах колеблется от единичных знаков до 2,2 г/т. В пределах контура 4 (проявление 13), западнее его (проявление 6) и в пределах контура 55 (проявление 56) лимонитизированные породы содержат установленную минерографически редкую вкрапленность киновари (менее 0,01 мм), а по данным спектрального анализа проб из элювия — 0,003—0,01% ртути (13). В 5 км севернее контура 62 две металлометрические пробы делювия содержат 0,3% ртути.

Ртутное оруденение, вероятно, связано с гидротермальной постмагматической деятельностью позднесенонского, а, возможно, и более молодого возраста.

Сурьма. Установлена спектральным анализом во всех штуфных пробах зоны катаклизса в устье р. Этеваям (31) в количестве 0,004—0,005%.

Графит. Коренные выходы графита приурочены к дайкам гранодиорит-порфиров по правому верхнему притоку р. Укзляят. Графит образует вкрапленность, линзовидные шлиры и прожилки. Вкрапленность, линзовидные шлиры и прожилки. Вкрапленность, линзовидные шлиры и прожилки. Содержание графита в породах — 2—3%. Линзовидные шлиры имеют длину 2—4 см, реже до 15 см, ширину 6 см. Шлиры размещены в гранодиорит-порфирах довольно равномерно, при некоторой концентрации в 1—1,5 м от контакта, где на 1 м<sup>2</sup> породы насчитывается 25—30 шлиров. Прожилки графита имеют размеры 40×4×2 см, в эндоконтактовой зоне на 1 м<sup>2</sup> насчитывается до 10—12 жил.

Спектральный анализ графита показал присутствие в нем: кремния (10%), алюминия (1%), кальция (0,2%), железа (0,3%), магния (0,1%), натрия (не 0,01%), циркония (0,002%).

Строительные материалы. В центральной и юго-восточной частях района широко распространены эфузивы основного состава, а также кремнистые породы ватынской серии. Однако удобных участков для них добывчи немного. Они расположены в верховьях рек Ачайваем и Умайолгива- скальные выходы в бортах рек и ручьев, сложенные наименее дроблеными базальтовыми и диабазовыми порфиритами и яшмами. Эфузивы содержат мелкие миндалинки и претерпели зеленокаменные изменения. Все породы рас- сечены густой неправильной сетью трещин, сцепленных кварцем и кальцитом. Такие породы могут использоваться только как щебень или бут для строительства дорог, фундаментов и наполнителя бетона.

В качестве щебня в строительных целях могут быть использованы об- вально-осыпные образования на склонах гор, представленные крупными (от 1 до 10 м в поперечнике) глыбами базальтовых и диабазовых порфиритов, яшм, песчаников и туфов основного состава. Породы сравнительно мало из- менены, но рассечены сетью кварцевых и карбонатных жилок.

Глина, имеющаяся в долине нижнего течения р. Кай-Ачайваем, может быть использована для местного строительства. Она обнажается в кругом обрыве террасы, где залегает в виде глинистых пачек (мощностью до 0,5 м) среди песка и галечника. Глина ленточная, синевато-серая, плотная, пластичная. В ней содержится незначительная примесь песчаного материала. Выход глины прослежен на расстояние 100 м вдоль реки. Аналогичные глины ис- пользуются в пос. Ачайваем для изготовления кирпича невысокого качества.

Пески, галечники, гравий и валуны, развитые по долинам крупных рек, пригодны для дорожного строительства и в строительном деле. Пески — не- равномернозернистые, полимиктовые, с преобладанием обломков кварца, пла- гиоклаза и пироксена. Они слагают крупные косы до 2,5 км длиной при- ность слоев песка 0,5—3,0 м. Галечники присутствуют вперемежку с песком преобладают основные и средние эфузивы и кремнистые породы, а в бас- сейне р. Укэлят — песчаники.

Для строительства возможно использовать материал ледниковых морен, развитых в бассейне нижнего течения р. Ачайваем. Морены сложены глы- бами андезитовых, базальтовых и диабазовых порфиритов, яшм, кремнисто- глинистых пород, гранитоидов. Породы сравнительно мало изменены и в об- ломках мало трещиноваты. Форма их от угловатой до среднеокатанной. Около 30% обломков имеют размер 0,8—5 м.

На рассматриваемой территории выявлены ртутные проявления, пред- ставляющие поисковый интерес. Центральная часть района является перспективной в отношении возможного обнаружения значительных концентраций ртути. Наиболее интересны участки двух рудных полей, из которых одно охватывает левый верхний приток р. Ачайваем, истоки рек Этэльваем и Ильпи, а второе — устье и среднее течение р. Этэльваем и верховья р. Ватанярчаваем. Площадь первого рудного поля около 250 км<sup>2</sup>, второго — около 120 км<sup>2</sup>. В пределах каждого рудного поля выявлено несколько ко- ренных рудопроявлений ртути. Из них наиболее перспективен участок ручья Треугольников, где рекомендуется проведение поисковых работ м-ба 1:5000, сопровождаемых проходкой шурfov до глубины 15—20 м и канав. Эти ра- боты позволят установить строение и форму рудных тел, а также выяснить размещение и размеры, что даст возможность приблизительно оценить запасы рудопроявления. Рудоконтролирующим фактором являются, вероятно, разрывные нарушения субширотного и северо-восточного направлений, в мень- шей степени северо-западного направления. При производстве работ необ- ходимо обратить внимание на изучение трещинной тектоники участка для выяснения закономерностей размещения рудных тел.

В пределах выявленных рудных полей рекомендуется проведение поис- ковых работ м-ба 1:25 000 с детализацией на ртутных рудопроявлениях. Желательно сопровождать работы каппаметрическими наблюдениями, которые облегчат поиски невскрытых лимонитизированных зон дробления, па- рабенетически связанных с ртутной минерализацией. Кроме того, при про- ведении этих работ необходимо обратить внимание на марганцевую минера- лизацию, приуроченную ко второму ртутному рудному полю и его продол- жению к востоку, для выяснения ее перспективности.

При проведении более крупномасштабных геологических исследований дальнейшего изучения требуют проявления хрома и никеля в поле развития гипербазитов, серебра в верховьях рек Укэлят и Поклаваям, а также оло- вянной и ванадиевой минерализации в ассоциации с ртутью и золотом в нижнем течении р. Ватына. Для этих полезных ископаемых, кроме хрома и никеля, следует выяснить генезис.

Практически неисчерпаемыми являются запасы строительных материалов.

## ПОДЗЕМНЫЕ ВОДЫ

Район расположен в зоне многолетней мерзлоты и в области современ- ных снежников и ледников. Суровый субарктический климат с отрицательной среднегодовой температурой способствует сохранению мерзлотного горизон- та. Эти факторы определяют гидрогеологические особенности рассматри- ваемой территории.

Толща многолетней мерзлоты охватывает как четвертичные, так и более древние эфузивно-кремнистые и алевролито-песчаниковые породы неоге- нового, палеогенового и мелового возраста. Из подземных вод в районе ус- тановлены только надмерзлотные воды, залегающие в толще деятельного слоя, а также под руслами рек и ручьев. Воды деятельного слоя по нашим наблюдениям около восьми месяцев в году находятся в твердой фазе и начинают оттаивать в начале июня. Наибольшая глубина оттаивания прихо- дится на середину сентября. Мощность деятельного слоя меняется в зави- симости от литологического состава отложений района, положения их в рель- ефе, характера растительности и колеблется от 0,5 до 3—3,5 м. Питание го- ризонта надмерзлотных вод происходит преимущественно за счет инфильтрации атмосферных осадков, а также таяния снежников и ледников, широко развитых в пределах хребтов Укэлят и Снегового, и оттаивания мерзлых грунтов. Водоупором надмерзлотных вод служит поверхность мерзлых по- род, а областью разгрузки — многочисленные ручьи и реки. Менее значи- тельными областями разгрузки являются нижние части склонов гор, где вы- ходы грунтовых вод образуют мочажины.

Водоносность различных пород зависит от их литологического состава. Большая часть территории занимает меловые, неогеновые и нижнечетвер- тичные эфузивно-кремнистые, эфузивные и алевролито-песчаниковые от- ложения. Для этих пород характерны трещинные воды, связанные с интен- сивной трещиноватостью пород в приповерхностной зоне. Ввиду незначи- тельности путей инфильтрации воды в них не минерализованы. Большая часть поглощенных из атмосферы трещинных вод сразу же выходит на по- верхность в виде временных источников у подножий склонов с небольшим дебитом (несколько метров в секунду) и выносится в реки. Только в зонах разломов трещинные воды имеют в некоторых случаях повышенную мине- рализацию, благодаря чему на поверхности трещин образовались тонкие ко- рочки лимонита. Наиболее водоносными в районе являются рыхлые верхние четвертичные и современные образования, развитые в пониженных участках территории. В пойменных и надпойменных террасах рек Ачайваем, Укэлят, Ильпи, Ватыны, сложенных в основном аллювием, ледниками и водно- ледниками образованиями, наблюдаются пластовые воды. Значительная мощность отложений способствует накоплению в них больших запасов под- земных вод, залегающих, как правило, в нескольких сантиметрах от поверх- ности. В пойменных террасах грунтовые воды находятся на глубине 0,3 м от поверхности. Элювиально-делювиальные образования сильно насыщены

водой у подножий гор и на низких плоских вершинах, в верхних частях склонов они слабо обводнены.

Подвижность надмерзлотных вод деятельного слоя в летнее время обуславливает широкое развитие солифлюкционных процессов.

В долинах крупных рек развиты многочисленные озера ледникового происхождения. Наиболее крупные имеют длину 1,5—4 км при ширине 0,5—0,8 км. В зимний период большинство озер промерзает до дна, кроме самых глубоких (более 3 м).

Надмерзлотные и озерные воды характеризуются низкой температурой, обычно они пресные, прозрачные, без запаха, пригодны для питья и технических целей. Исключение составляют небольшие заболоченные озера в долине р. Ачайваем, вода которых обладает бурым цветом и неприятным болотным запахом.

По долинам крупных рек и их притокам повсеместно развиты почвенные воды. Они приводят к образованию заболоченных пространств, обычно возникающих на поверхности высокой поймы и надпойменной террасы. Их образование связано с наличием многолетней мерзлоты, препятствующей просачивание атмосферных осадков. Мощность почвенных вод в долинах не превышает 20—35 см. Воды имеют светло-бурый цвет и иногда слабый гнилостный запах.

Признаком деятельности в недавнем прошлом восходящих источников современного возраста, возможно, связанных с поствулканическими гидротермами, можно считать травертины, обнаруженные в верховьях правого нижнего притока р. Покляваем (Закржевский, 1962). Травертины залегают на современных аллювиальных отложениях и содержат минерализованную листовую флору, процветающую в данной местности в настоящее время. Травертины отложены углекислым источником со значительной магниевой, марганцевой и мышьяковой минерализацией.

Изученная территория вполне обеспечена водой рек и озер, пригодной для питья и технических нужд.

#### ЛИТЕРАТУРА

##### Опубликованная

Горшков Г. П. О новой карте сейсмического районирования территории СССР. Тр. геофизического ин-та АН СССР, № 1 (128), М.—Л., 1948.

Дитмар А. В., Бакулин В. И. Применение метода измерений магнитной восприимчивости. Инф. бюлл. НИИГА, № 20, Л., 1960.

Дитмар А. В., Агеев К. С., Воронец Н. С. О маастрихтских отложениях в южной части Корякского нагорья (бассейн р. Ачайваем).

Егизаров Б. Х., Русаков И. М. Тектоническая карта Корякской складчатой системы м-ба 1 : 2 500 000.

Егизаров Б. Х. Новые данные по геологии и полезным ископаемым центральной части Корякского хребта. Инф. бюлл. Инст. геол. Арктики, вып. 23, 1961.

Егизаров Б. Х. Объяснительная записка к государственной геологической карте м-ба 1 : 1 000 000 (лист Р-59). М., «Недра», 1964.

Егизаров Б. Х., Дундо О. П. Объяснительная записка к Государственной карте полезных ископаемых м-ба 1 : 1 000 000 (лист Р-59). М., «Недра», 1964.

Егизаров Б. Х. Основные черты геологического строения Корякского нагорья. Сб. «Геология Корякского нагорья» под ред. Б. Х. Егизарова. НИИГА, СВГУ ГУГ и ОН при Сов. Мин. РСФСР. М., 1963.

Закржевский Г. А. Геологическая карта и карта полезных ископаемых м-ба 1 : 200 000. Лист Р-59-XXI. (Объяснительная записка.) М., Гостехиздат.

Николаев И. Г. Геологическое строение Центральной части Корякского хребта. Тр. ГГУ ГУСМП, вып. 19, М.—Л., 1945.

Русаков И. М., Егизаров Б. Х. Стратиграфия мезозойских отложений южного склона восточной части Корякского хребта. Тр. Межвед. совещ. по стратигр. Северо-Востока СССР. Магадан, 1959.

Титов В. А. Стратиграфия меловых отложений Корякского нагорья. Тр. Межвед. совещ. по стратигр. Северо-Востока СССР. Магадан, 1959.

Титов В. А. Общие черты геологического строения и полезные ископаемые Корякского нагорья. Задачи дальнейших исследовательских работ. Минер. ресурсы Камч. обл. Совет по изуч. промз. сил АН СССР, М., 1961.

Титов В. А. Отложения меловой системы Корякского нагорья. Тр. Совещ. по разраб. униф. стратигр. Сахалина, Камчатки, Курильских и Командорских островов. М., 1961.

#### Фондовая

Аникеева Л. И., Агеев К. С. Полевой отчет отряда № 1, темы 300-в. Фонды НИИГА, 1963.

Аникеева Л. И., Агеев К. С. Полевой отчет о результатах геологопетрографических исследований междуречья Яельваем Левая и Яельваем Правая (Корякское нагорье). Фонды НИИГА, 1964.

Белков Е. Е., Осипова Г. Н. Материалы по полезным ископаемым юго-восточных склонов центральной части Корякского хребта. Фонды НИИГА, 1958.

Дитмар А. В., Успенский А. Н., Финогентов А. С. Геологическое строение и полезные ископаемые северо-западной части листа Р-59-XXII. Фонды НИИГА, 1960.

Дитмар А. В., Успенский А. Н., Финогентов А. С. Геологическое строение и полезные ископаемые северо-восточной части листа Р-59-XXII. Фонды НИИГА, 1961.

Дитмар А. В., Агеев К. С., Финогентов А. С. Геологическое строение и полезные ископаемые района среднего течения р. Ватыны (юго-восточная часть листа Р-59-XXII). Фонды НИИГА, 1962.

Дитмар А. В., Агеев К. С., Финогентов А. С. Геологическое строение и полезные ископаемые междуречья Ватыны и Ачайваем (юго-восточная часть листа Р-59-XXII) и районов горы Ледяной и р. Матыскен (центральная часть листа Р-59-XXII). Корякский хребет. Фонды НИИГА, 1963.

Дитмар А. В., Поляков М. М., Финогентов А. С. Полевой отчет о результатах геологической съемки м-ба 1 : 200 000, проведенной летом 1964 г. партией № 1 Корякской экспедиции НИИГА (район оз. Анана и бассейна р. Таманвяя). Корякское нагорье.

Ермаков Б. В. Стратиграфия меловых флишевых отложений на правобережье р. Укэлая (верхнее течение). Корякское нагорье. Промежуточный отчет по теме 300 б. (Стратиграфия меловых отложений центральной части Корякского нагорья.) М-б 1 : 100 000. Фонды НИИГА, 1964.

Ершов Ю. П., Пичугина Г. К. и др. Геологическое строение юго-восточных склонов центральной части Корякского хребта. Фонды НИИГА, 1957.

Егизаров Б. Х., Пичугина Г. К., Агеев К. С. Стратиграфия мезозойских отложений верховьев рек Пахачи, Апукваем, Импенвээм, Укэлая. Фонды НИИГА, 1958.

Егизаров Б. Х., Дундо О. П. и др. Геология и полезные ископаемые восточной части Корякского нагорья (отчет по теме № 237). Фонды НИИГА, 1962.

Закржевский Г. А., Устинов Н. В. и др. Геологическое строение и полезные ископаемые южной части листа Р-59-XXI и юго-западной части Р-59-XXII (Апукский хребет). Корякское нагорье. Фонды НИИГА, 1962.

Тачук А. Л., Белоусов П. А. Отчет о работе междуреченской геолого-рекогносцировочной партии м-ба 1 : 500 000 (в центральной части Корякского нагорья) за 1954 г. Фонды СВГУ, 1955.

Успенский А. Н., Андреев С. И. Полезные ископаемые ручья Треугольников (Корякский хребет, бассейн р. Ачайваем, центральная часть листа Р-59-XXII). Фонды НИИГА, 1962.

Устинов Н. В., Губанов И. В. Геологическое строение и полезные ископаемые района р. Агваем (Корякское нагорье). Фонды НИИГА, 1964.

**ПРИЛОЖЕНИЕ 1**  
**СПИСОК МАТЕРИАЛОВ, ИСПОЛЬЗОВАННЫХ ДЛЯ СОСТАВЛЕНИЯ**  
**КАРТЫ ПОЛЕЗНЫХ ИСКОПАЕМЫХ**

№ п/п	Фамилия и инициалы автора	Название работы	Год со- ставле- ния или издания	Местонахождение материала, его фондовый № или место издания
1	Дитмар А. В., Успенский А. Н., Финогентов А. С.	Геологическое строение и полезные ископаемые северо-западной части листа Р-59-XXII	1960	Фонды НИИГА, 3387.
2	Дитмар А. В., Успенский А. Н., Финогентов А. С.	Геологическое строение и полезные ископаемые северо-восточной части листа Р-59-XXII	1961	Там же, 3528
3	Дитмар А. В., Агеев К. С., Финогентов А. С.	Геологическое строение и полезные ископаемые района среднего течения р. Ватыны (юго-восточная часть листа Р-59-XXII)	1962	Там же, 3758
4	Дитмар А. В., Агеев К. С., Финогентов А. С.	Геологическое строение и полезные ископаемые междуречья Ватына и Ачайваем (юго-восточная часть листа Р-59-XXII) и районов горы Ледяной и р. Матысken (центральная часть листа Р-59-XXII) Корякский хребет	1963	Там же, 3861
5	Ершов Ю. П., Пичугина Г. К., Савельев Н. А., Успенский А. Н.	Геологическое строение юго-восточных склонов центральной части Корякского хребта	1957	Фонды НИИГА, 2930
6	Закржевский Г. А., Устинов Н. В., Поляков М. М., Матвеев В. В.	Геологическое строение и полезные ископаемые южной части листа Р-59-XXI и юго-западной части Р-59-XXII (Апукский хребет, Корякское нагорье)	1962	Там же, 3759
7	Успенский А. Н., Андреев С. И.	Полезные ископаемые ручья Треугольников (Корякский хребет, бассейн р. Ачайваем, центральная часть листа Р-59-XXII)	1962	Там же, 3705

**ПРИЛОЖЕНИЕ 2**  
**СПИСОК ПРОЯВЛЕНИЙ ПОЛЕЗНЫХ ИСКОПАЕМЫХ,**  
**ПОКАЗАННЫХ НА ЛИСТЕ Р-59-XXII КАРТЫ ПОЛЕЗНЫХ**  
**ИСКОПАЕМЫХ МАСШТАБА 1:200 000**

№ по карте	Индекс клетки на карте	Название (местонахождение) проявления и вид полезного ископаемого	Характеристика проявления	№ используемого материала по списку
<b>Металлические ископаемые</b>				
<b>Марганец</b>				
47	II-4 III-4	Перевал Ватына	Ореол рассеяния браунита	3
57	IV-3	Хр. Ватына	Линзы и жилы брауни-та среди кремнистых по-род. Длина их от 0,2 до 4 м, мощность 0,1—2 м	3
61	IV-4	Хр. Ватына	Линзы и жилы (длиной 0,2—4 м, мощностью 0,1—1,5 м) браунита среди яшм и сланцев	4
37	III-2	Р. Вотанярчаваям		3
25	II-3, 4	Р. Ильпи	Ореол рассеяния браунита	2
39	III-2	Р. Кай-Ачайваем Хр. Снеговой у перевала Ватына	Линзы (длина 0,15—8 м, мощность 0,1—1,5 м) и жилы длиной 2—10 м, мощность 0,2—2 м) браунита в красных яшмах. Содержание MnO до 55,18%	3
49	III-4			3
50	III-4			3
51	III-4			3
52	III-4			3
53	III-4			3
41	III-3	Левый верхний приток р. Этэлваем	Линзы (длина 0,15—8 м, мощность 0,1—1,5 м) и жилы (длина 2—10 м, мощность 0,2—2 м) браунита в красных яшмах. Содержание MnO 25,9%	3
59	IV-4	Левый нижний приток р. Ватыны	Металлометрический ореол рассеяния. Содержание ванадия до 0,08%	3
<b>Хром</b>				
18	II-2, 3	Р. Ильпи	Ореол рассеяния хро-мита	2

## Продолжение прилож. 2

№ по карте	Индекс клетки на карте	Название (местонахождение) проявления и вид полезного ископаемого	Характеристика проявления	№ используемого материала по списку
27	II-3, 4	Р. Матысken	То же	2
29	II-3	Хр. Снеговой	Шлировые включения (1—15 см) хромита в гипербазитах на площади 10×20 м <sup>2</sup>	4
<i>Серебро</i>				
33	III-1	Р. Поклявайм	Ореол рассеяния серебра в ожелезненных породах в зоне разрывных нарушений	6
2	I-1	Р. Укэлайт Правая	Ореол рассеяния серебра в зоне лимонитизированных песчаников и алевролитов. В 20 металлометрических пробах содержание 0,001%	1
<i>Медь</i>				
42	III-3	Правый верхний приток р. Ватны	Мелкая вкрапленность и прожилки сульфидов в зоне дробления кремнистых пород площадью 20 м <sup>2</sup>  По трещинам отдельности, примазки малахита. Содержание меди до 2,0%; присутствует цинк — до 0,95%	3
48	III-4	Правый приток р. Матысken	Мелкие прожилки сульфидов в зоне дробления. Содержание меди 1%	3
45	III-3	Хр. Снеговой	Минерализованная зона площадью 50 км <sup>2</sup> с видимой вкрапленностью и прожилками халькопирита и примазками малахита в кремнистых породах на контакте с гипербазитами. Содержание меди 0,5%. Здесь же содержится ртуть в количестве 0,0004%	3

№ по карте	Индекс клетки на карте	Название (местонахождение) проявления и вид полезного ископаемого	Характеристика проявления	№ используемого материала по списку
<i>Свинец</i>				
38	III-1, 2	Р. Вотанярчавайм	Ореол рассеяния галенита; сопутствует сфалерит	4
5	I-1	Северный склон горы Ледяной	Ореол рассеяния галенита	1
32	III-1	Р. Маневвайм	То же	6
44	III-1 IV-1	Р. Поклявайм	Ореол рассеяния свинца в зоне разрывных нарушений. Содержание свинца до 0,005%	6
3	I-1	Истоки р. Укэлайт Правая	Ореол рассеяния галенита	1
<i>Никель</i>				
40	III-3	Хр. Снеговой, юго-западнее горы Пик		
43	III-3	Хр. Снеговой	Пять металлометрических ореолов рассеяния никеля площадью от 3 до 6 км <sup>2</sup> в поле развития гипербазитов.	
44	III-3	Хр. Снеговой	Содержание никеля от	3
46	III-3	Гора Эймнейней		
28	II-3, III-3	Левый приток р. Этелвайм	0,03—0,1%	
<i>Олово</i>				
60	IV-4	Нижнее течение р. Ватны	Металлометрический ореол рассеяния олова вблизи зоны катализации. Содержание олова 0,01—0,04%	3
<i>Ртуть</i>				
13	II-1	Верховья р. Ачайвайм	Зона лимонитизированных яшм, содержащая 0,003—0,01% ртути в ассоциации со свинцом (0,01%)	1

Продолжение прилож. 2

№ по карте	Индекс клетки на карте	Название (местонахождение) проявления и вид полезного ископаемого	Характеристика проявления	№ использованного материала по списку
14	II-1	Верховья р. Ачайваем	Зона лимонитизированных кремнистых пород. Содержание ртути до 0,01%	1
62	IV-4	Нижнее течение р. Ватыны	Ореол рассеяния киновари	4, 5
56	IV-2	Хр. Ватына	Зона лимонитизированных пород, содержащая вкрапленность киновари	3
58	IV-3	Гора Угретен	Ореол рассеяния киновари	4
34	III-2, 3	Верховья р. Вотанярчаваям	Ореол рассеяния киновари. Штуфные пробы из лимонитизированных зон дробления в пределах ореола содержат ртуть до 0,0004%	3, 4
36	III-2	Истоки р. Вотанярчаваям	Зона лимонитизированных пород длиной 50—100 м, шириной 5—10 м, содержащих по данным спектрального полуколичественного анализа 0,0004% ртути	3
35	III-2	Правый верхний приток р. Вотанярчаваям	Лимонитизированная зона дробления, площадью 300 м <sup>2</sup> , содержащая по данным спектрального полуколичественного анализа 0,0004% ртути. Присутствует цинк в количестве 0,06—2,0% по данным спектрального анализа металлометрических проб	3
22	II-3	Истоки р. Ильпи	Ореол рассеяния киновари	2
30	II-4	Левобережье р. Ильпи	То же	2
4	I-1, II-1, 2	Западные и южные отроги горы Ледяной	Ореол рассеяния киновари. В алевролитах из делювия наблюдаются примазки киновари	1

Продолжение прилож. 2

№ по карте	Индекс клетки на карте	Название (местонахождение) проявления и вид полезного ископаемого	Характеристика проявления	№ использованного материала по списку
9	I-2, 3 II-2	Юго-восточный склон горы Ледяной	Ореол рассеяния киновари	1, 2
6	I-1	Южный склон горы Ледяной	Зона минерализованных брекчированных яшм с редкой вкрапленностью киновари (менее 0,1%)	1
26	II-3, 4	Левобережье р. Матыс-кен	Ореол рассеяния киновари	2
23	II-3	В пределах ореола 22	Зона лимонитизированных кремнистых пород (150×100 м <sup>2</sup> ). Содержание ртути по шести штуфным пробам 0,0001%, по 250 металлометрическим пробам—0,00005—0,03%, 22 протолочки содержат от 0,2 до 2,0 г/т киновари	2
20	II-2	Рудопроявление ручья Треугольников в пределах контура 19	Рассеянная вкрапленность, пленки киновари по плоскостям отдельности, прожилки и гнезда в зоне дробления кремнистых пород площадью 2,5 км <sup>2</sup> . Содержание ртути в бороздовых пробах от 0,0001 до 0,05%, в металлометрических пробах делювия 0,00005—0,1%, при среднем содержании 0,001—0,003%, в рудных брекчиях (по данным химического анализа) 2,63—21,21%	1, 7
8	I-1, 2	Р. Укэлайт	Ореол рассеяния киновари	1
1	I-1	Р. Укэлайт Правая	То же	1
11	I-4	Р. Укэлайт	" "	2
7	I-2	Р. Укэлайт	" "	2

Продолжение прилож. 2

№ по карте	Индекс клетки на карте	Название (местонахождение) проявления и вид полезного искоаемого	Характеристика проявления	№ используемого материала по списку
10	I-3	Правобережье р. Укэляят	Ореол рассеяния киновари. В пределах ореола в штуфной пробе из зоны лимонитизированных пород спектральным анализом установлено содержание ртути в количестве 0,00005%	2
12	I-4	Правые притоки р. Укэляят	Ореол рассеяния киновари	2
24	II-3	Южный склон хр. Укэляят	То же	2
55	IV-2, 3	Восточный склон горы Черной	Ореол рассеяния киновари. Штуф в пределах ореола содержит редкую вкрапленность киновари	4
15	II-1, 2	Верховья р. Этелваям	Ореол рассеяния киновари	1
16	II-1	Верховья р. Этелваям	Минерализованная зона дробления кремнистых пород с мелкой вкрапленностью и примазками киновари. По спектральному анализу штуфов эловия содержание ртути 0,003—0,01%	1
17	II-2	Истоки р. Этелваям	Ореол рассеяния киновари	1, 5
19	II-2	Левый верхний приток р. Этелваям. Рудопроявление ручья Трехугольников	Ореол рассеяния киновари, площадью более 10 км <sup>2</sup> . Из 284 шлиховых проб и протолочек 85% проб содержат весовые количества (0,1—300 г/т), 15% проб — единичные знаки	1, 7
21	II-2 III-1, 2	Среднее течение р. Этелваям	Ореол рассеяния киновари	1, 3, 4, 5
31	III-1	Устье р. Этелваям	Тонкие пленки и мелкая вкрапленность киновари в катаклизированных гранитоидах. Содержание ртути от 0,0002 до 0,06%	3, 5